

Uniformisation des surfaces de Riemann

par Alexis Marin, illustrations de Dorothea Vienne-Pollak

Mythe
(qui fut)
contemporain

d'après une idée originale de
J.-P.-A. Douaillly Jr.

Classification de l'A.M.S. : 30-00, 30F10, 30C20, 57N05.

Classification de la librairie du congrès :

Mythologie profane.
Invertissement analytico-algèbrique.
Divertissement holomorphe.
Exercice de style géométrique.

Résumé

De moulte lemmes, corollaires, cocorollaires¹, defemmes, decofaires² subreptissement sortis dans les appendices, les lèvres humides et l'esprit clarifié, l'uniformisation, délaissant la savante analyse, sa Théorie du potentiel et ses Equations aux dérivées partielles, cède aux charmes «élémentaires» de la naïve, mais efficace, règle des signes :

Pour m et n entiers $(-1)^m (-1)^n = (-1)^{m+n}$

Eénnodrooque, Hétérolution, ainsi que la plupart des termes du glossaire sont des barbarismes déposés dont l'emploi est soumis à l'obtention d'une licence.

En attendant que les conditions d'abonnement et les certificats correspondants soient disponibles dans les bureaux de tabac, une tolérance est accordée pour usage exclusif de compliment et/ou quelibet de cour de récréation.

Pour tout autre usage, public ou privé, même licencieux ou domestique, les demandes d'abonnement s'obtiennent jusqu'au Mon, 1 Mar 2004 19:06:59 +0100 par courrier électronique à :

*"Annales de l'Institut Fourier (Monique Vitter et Nathalie Catrain)"
annalif@ujf-grenoble.fr*

¹ c.a.d. corollaire d'un corollaire.

² c.a.d. énoncés intégrant lemme ou corollaire à une définition le nécessitant.

Aperçu sur quatre paragraphes et autant d'appendices

réduisant

le théorème de Koebe à celui de Riemann dans le plan

Une *surface de Riemann* \mathfrak{S} , i.e. variété holomorphe séparée de dimension complexe 1, est *simplement connexe* si tous ses revêtements sont triviaux.

Plan complexe, disque unité et sphère de Riemann sont des surfaces de Riemann connexes et simplement connexes. Le théorème d'uniformisation affirme :

A isomorphisme, i.e. homéomorphisme holomorphe, près ce sont les seules.

Ce résultat énoncé par Riemann au §XXI de sa dissertation de 1851, mais avec une démonstration qui n'a été pleinement justifiée par Hilbert qu'en 1909, est usuellement attribué indépendamment à Poincaré et à Koebe dans deux articles de 1907 et a fait couler beaucoup d'encre⁰. Sans prétendre, comme le dit Hermann Weyl de Koebe, avoir, la vie entière «darauf verwendet, das Problem der Uniformisierung nach allen Richtungen und mit den verschiedensten Methoden durchzudenken»¹ le présent texte déduit le théorème d'uniformisation du «théorème de Riemann dans le plan» de tous les manuels d'analyse complexe² :

THÉORÈME 0. — *Un ouvert connexe strict du plan complexe, sur lequel toute fonction holomorphe ne prenant pas la valeur zéro a une racine carrée holomorphe, est isomorphe au disque unité.*

Un énoncé de Jordan³ caractérise donc les *domaines de Jordan*, i.e. intérieurs de sous-variété topologique du plan de bord connexe non vide :

COROLLAIRE 0. — *Un domaine de Jordan est isomorphe au disque unité.*

La réduction ici proposée est «élémentaire», en le sens que d'une part elle ne nécessite pas d'outil homologique, ni de triangulation (elle donne en particulier la paracompacité⁴ des surfaces de Riemann) et d'autre part, contrairement aux différents traités modernes sur les surfaces de Riemann⁵, la seule analyse qu'elle utilise sont les résultats de base sur les fonctions holomorphes.

La preuve et ses sept énoncés

Le cas compact

Le §1 établit une première caractérisation de la sphère de Riemann :

LEMME A. — *Une surface de Riemann compacte \mathfrak{S} union de deux ouverts isomorphes au disque unité est isomorphe à la sphère de Riemann.*

Ici la seule hypothèse de nature topologique sur la surface de Riemann \mathfrak{S} est la compacité et il n'y a pas d'hypothèse de régularité de la frontière. Il n'en sera pas de même pour caractériser dans les surfaces de Riemann les ouverts isomorphes au disque, ici dénommés *élémentaires*, ou ceux, dits *standards*, dont les composantes connexes sont isomorphes au disque ou à la sphère de Riemann :

Un *cycle analytique* (ou ω -cycle) de \mathfrak{S} est un fermé Γ de \mathfrak{S} , union localement finie d'une famille $(\beta_\lambda)_{\lambda \in \Lambda}$ d'arcs analytiques réels tel que tout point $p \in \Gamma$ est extrémité d'un nombre pair des β_λ . Un *polygone analytique (ouvert)* (ou ω -polygone (ouvert)) est un ouvert de \mathfrak{S} , intérieur de sa fermeture, et de frontière un ω -cycle.

Une surface de Riemann est *planaire* si tout ω -cycle compact la sépare.

La construction, dans l'appendice 1, du revêtement double associé à un ω -cycle établit qu'une surface de Riemann simplement connexe est planaire.

Le §2 démontre l'analogue du Lemme A pour les ω -polygones planaires :

LEMME C. — *Un polygone analytique relativement compact Ω dans une surface de Riemann planaire \mathfrak{P} , de fermeture $\overline{\Omega}$ recouverte par deux ouverts standards U_1 et U_2 , et d'intérieur du complémentaire $\mathfrak{P} \setminus \overline{\Omega}$ connexe, est standard.*

qui, au §4, implique une seconde caractérisation de la sphère de Riemann :

THÉORÈME 1. — *Une surface de Riemann compacte connexe planaire \mathfrak{P} est isomorphe à la sphère de Riemann.*

d'où le cas compact du théorème d'uniformisation.

Arrondissement des brisures du bord et le cas général

Le §2 utilise l'extension, aux ω -polygones, du *double de Klein* d'une surface de Riemann à bord \mathbf{R} , une surface de Riemann $\mathfrak{D}\mathbf{R} \supset \mathbf{R}$ la contenant et munie d'une *hétérolution*, *i.e.* involution conforme nulle part holomorphe, $\sigma_{\mathbf{R}}$ d'ensemble des points fixes Fix $\sigma_{\mathbf{R}} = \partial\mathbf{R}$ le bord de \mathbf{R} et ayant \mathbf{R} pour domaine fondamental. Le cas usuel rappelé dans l'appendice 2, cette extension occupe l'appendice 3 :

Un *bord* β d'un ω -polygone U est une courbe paramétrée $\beta : B \rightarrow \text{Fr } U$ de sa frontière, dont tout paramètre $s \in B$ a un voisinage d'image par β l'union de deux arcs non séparées près de $\beta(s)$ par le complémentaire de U et analytique injective hors de $\beta^{-1}(\Delta_U)$, ses *coins*, préimage du discret ensemble Δ_U des *sommets* de U .

Il y a un bord d'image $\text{Fr } U$, le *bord* ∂U de U , et pour tout bord β de U , une surface de Riemann $\mathfrak{D}_{\beta} U$, le *double* de l' ω -polygone U sur le bord β , munie de σ_{β} et $i_{\beta} : U_{\beta} \rightarrow \mathbf{U}_{\alpha\beta}$, hétérolution et homéomorphisme, holomorphe sur U , de

$$U_{\beta} = (U \cup (\beta(B) \setminus \Delta_U)) \amalg B / \{\beta(s) \sim s \text{ si } s \in B \text{ et } \beta(s) \notin \Delta_U\}$$

sur une sous-surface de Riemann à bord $\mathbf{U}_{\alpha\beta}$ de $\mathfrak{D}_{\beta} U$, dite *arrondie de U sur β* , et dont $(\mathfrak{D}_{\beta} U, \mathbf{U}_{\alpha\beta}, \sigma_{\beta})$ est double de Klein usuel.

Le double d'un ω -polygone élémentaire sur un arc non dense de sa frontière étant élémentaire, le Lemme A donne une caractérisation du disque unité, le Lemme B, d'énoncé utilisant le vocabulaire ouvrant le §2, et dont l'application récurrente établira le Lemme C et, au §3, la structure des composantes compactes de bord permettant de «boucher» les surfaces de Riemann compactes à bord :

LEMME D. — *Une composante compacte X du bord $\partial\mathbf{R}$ d'une surface de Riemann à bord \mathbf{R} a un voisinage dans \mathbf{R} isomorphe à un voisinage dans le disque unité fermé, de son bord, le cercle unité.*

COROLLAIRE D. — *Une surface de Riemann à bord compacte \mathbf{R} est isomorphe à une sous-surface \mathbf{S} d'une surface de Riemann compacte \mathfrak{S} avec $\mathfrak{S} \setminus \mathbf{S}$ standard.*

Tout compact d'une surface de Riemann \mathfrak{Q} , étant inclus dans un ω -polygone relativement compact, a donc un voisinage isomorphe à un ouvert U d'une surface de Riemann compacte \mathfrak{S} , planaire si \mathfrak{Q} l'est. Au §4 le critère de Montel, exposé à l'appendice 4 (et utilisé aussi aux §1 et 3), justifiera la terminologie «planaire» :

THÉORÈME 2. — *Une surface de Riemann connexe planaire \mathfrak{Q} est isomorphe à un ouvert de la sphère de Riemann.*

qui ramène le théorème d'uniformisation au théorème de Riemann dans le plan.



Les appendices soritteront alors vers commentaires, références, notes, index, table des matières et générique de fin : épilogue d'une histoire dont, avant de la plus habiller, il convient de présenter les personnages :

Objets et morphismes usuels dans le plan et la sphère

Les modèles et quelques morphismes et isomorphismes tant algébriques que conformes.

\mathbb{N} , \mathbb{Z} , *Entiers naturels et relatifs*, (mo-, an-)neau des deux premières opérations $+$ et \times .

$\mathbb{F}_2 = \{0, 1\}$, *Corps à deux éléments isomorphe au corps $\mathbb{Z}/2\mathbb{Z}$ des entiers modulo 2*.

$\mathbb{C} = \{x + iy ; x \text{ et } y \text{ réels}\}$, *Plan complexe*, un corps étendant celui des réels où $i^2 = -1$.

$\mathbb{R} = \{x + i0 ; x \text{ réel}\} \subset \mathbb{C}$, *Axe réel*, un sous-corps de \mathbb{C} .

$\mathbb{C}^* = \mathbb{C} \setminus \{0\}$, *Plan complexe éponté*, groupe multiplicatif du corps \mathbb{C} .

$\mathbb{R}^* = \mathbb{R} \setminus \{0\}$, *Axe réel éponté*, groupe multiplicatif du sous-corps \mathbb{R} de \mathbb{C} .

$\mu_2 = \{\pm 1\} = \{\pm 1\} \subset \mathbb{R}^* \subset \mathbb{C}^*$, *Doublon des signes*, sous-groupe des racines carrées de l'unité.

$\mathbb{R}_\epsilon = \{x + iy ; \epsilon x \geq 0\}$, pour $\epsilon \in \mu_2$, *Demi-axes positif* si $\epsilon = +$, *négatif* si $\epsilon = -$.

$\Re, \Im : \mathbb{C} \rightarrow \mathbb{R}$, *Parties réelle et imaginaire* associant à $z = x + iy$, $\Re z = x$ et $\Im z = y$.

conj, Conjugaison complexe : isomorphisme de corps $z = \Re z + i\Im z \mapsto \bar{z} = \Re z - i\Im z$.

$|| : \mathbb{C} \rightarrow \mathbb{R}_+$, *Module*, $z \mapsto \sqrt{z\bar{z}} = \sqrt{(\Re z)^2 + (\Im z)^2}$, il est multiplicatif : $|z z'| = |z| |z'|$.

$D = \{z \in \mathbb{C} ; |z| < 1\}$, *Disque (unité centré en l'origine 0, ou central)*.

$D^* = D \setminus \{0\}$, *Disque (unité) éponté*.

$D_+ = \{z \in \mathbb{C} ; |z| < 1, \Im z \geq 0\}$, *Demi-disque (Nord unité)*, de bord l'intervalle $] -1, 1 [$.

$S^1 = \{z \in \mathbb{C} ; |z| = 1\}$, *Cercle unité*. Sous-groupe compact de \mathbb{C}^* , y ayant pour voisinage :

$A_r = \{z \in \mathbb{C} ; r < |z| < r^{-1}\}$, où $0 < r < 1$, *Anneau invariant (de rayon intérieur r)*.

$\overline{D} = \{z \in \mathbb{C} ; |z| \leq 1\}$, $(\overline{D}^* = \overline{D} \setminus \{0\})$, *Disque unité fermé (éponté)*, de bord S^1 .

$H = \{z \in \mathbb{C} ; \Im z > 0\}$, *Demi-plan de Poincaré*.

$D_{z,r} = z + r D$, pour $z \in \mathbb{C}$, $r > 0$, *Disque de centre z et rayon r , sans centre* $D_r = D_{0,r}$.

$\overline{D}_{z,r} = z + r \overline{D}$, pour $z \in \mathbb{C}$, $r > 0$, *Disque fermé de centre z et rayon r* , $\overline{D}_r = \overline{D}_{0,r}$.

$S_{z,r} = z + r S^1$, pour $z \in \mathbb{C}$, $r > 0$, *Cercle de centre z et rayon r , sans centre* $S_r = S_{0,r}$.

$P_1(\mathbb{C}) = \mathbb{C} \cup \{\infty\}$, *Sphère de Riemann*, contenant les espaces précédents et où, selon la coutume [si $u \in \mathbb{C}$, $v \in \mathbb{C}^*$ alors $\infty + u = \infty$, $v\infty = \infty v = \infty$, $\frac{v}{0} = \infty$, $\frac{v}{\infty} = 0$, $\overline{\infty} = \infty$], agissent *homo* $z \mapsto \frac{az+b}{cz+d}$ et *hétero* $z \mapsto \frac{a\bar{z}+b}{c\bar{z}+d}$ graphies [$a, b, c, d \in \mathbb{C}$, $a d - b c \neq 0$]. Une graphie commutée à *conj* si et seulement si elle est réelle, *i.e.* a un représentant avec $a, b, c, d \in \mathbb{R}$.

$L_\epsilon = \{z \in \mathbb{C} ; \epsilon \Re z > 0\}$, $\epsilon \in \mu_2$, *Demi-plan latéraux*. *Symétrie polaire* $\iota : z \mapsto -z^{-1}$ (centrée aux pôles $\{\pm i\}$) échange demi-plan *Est* L_+ et *Ouest* L_- , chacun isomorphe au disque central D par l' ϵ -rétrograde en ϵ *i quart de tour polaire*, $\vartheta_\epsilon : L_\epsilon \rightarrow D$, $\vartheta_\epsilon(z) = (\frac{z-1}{z+1})^\epsilon$.

$I = [0, 1] \subset \mathbb{R} \subset \mathbb{C}$, *Intervalle unité*, d'intérieur formel $\tilde{I} = I \setminus \{0, 1\}$ ayant pour voisinages

$P_{N,h} = \{z \in \mathbb{C} ; h |\Im z| < (\Re z - |z|^2)^{N+1}\}$, pour $h > 0$ et N pair, *Perle* (N, h)-fine sur I .

$\exp : \mathbb{C} \rightarrow \mathbb{C}^*$, $z \mapsto \sum_{n=0} \frac{z^n}{n!}$, *Exponentielle*, morphisme $2\pi i$ -périodique $\mathbb{C} \setminus \mathbb{R}_{-}$ -scindé par :

$\log : \mathbb{C} \setminus \mathbb{R}_{-} \rightarrow \{z \in \mathbb{C} ; |\Im z| < \pi\}$, isomorphisme *Détermination principale du logarithme*.

$\epsilon : \mathbb{Z} \rightarrow \mu_2$, *Parisigne*, morphisme $n \mapsto (-1)^n$, induit l'isomorphisme $\underline{\epsilon} : (\mathbb{F}_2, +) \rightarrow \mu_2$.

D'autres homo (et hétéro) graphies utiles.

Id, Identité $z \mapsto z$ de $P_1(\mathbb{C})$.

ι_λ , pour $\lambda \in \mathbb{C}^$, est l'involution holomorphe* $z \mapsto -\frac{\lambda}{z}$, donc $\iota_1 = \iota$ est *Symétrie polaire.*

σ_t , pour $t \in \mathbb{R}^$, est l'hétérolution* $\sigma_t = \text{conj} \circ \iota_{-t}$, libre si et seulement si $t < 0$, pamis elles : *σ_{-1} , Antipode.*

σ_{r^2} , Inversion fixant (le cercle) S_r , sans préciser, *Inversion* est σ_1 .

$\varphi_\alpha : D \rightarrow D$, pour $\alpha \in D$, est $z \mapsto \frac{\bar{z}-\bar{\alpha}}{1-\bar{\alpha}\bar{z}}$, elle est inversible d'inverse $\varphi_{-\alpha}$.

h_λ , Similitude de rapport complexe $\lambda \in \mathbb{C}^*$ est $z \mapsto \lambda z$.

h_t , Homothétie de rapport t si $t \in \mathbb{R}^*$.

τ_v , Translation de vecteur $v \in \mathbb{C}$ est $z \mapsto z + v$.

Et les triviales

c_k , Applications constantes sur $P_1(\mathbb{C})$ d'image le singleton $\{k\}$.

Opérations et invariants topologiques

$X \amalg Y$, Espace somme (disjointe) des espaces topologiques X et Y .

$\coprod_{\lambda \in \Lambda} X_\lambda = \{(x, \lambda) \in X \times \Lambda; x \in X_\lambda\}$ somme disjointe d'une famille de sous-espaces de X .

\overline{A} , Fermeture d'une partie $A \subset X$ d'un espace topologique X .

$\text{Int } A = \overset{\circ}{A}$, Intérieur d'une partie $A \subset X$ d'un espace topologique X .

$\text{Int}_Y A = \overset{\circ}{A} \cap Y$, Intérieur relatif dans un sous-espace Y d'une partie A de l'espace X .

$C(X, Y)$, Ensemble des applications continues d'un espace X dans un espace Y .

incl_A^X (ou $A \hookrightarrow X$) $\in C(A, X)$, Inclusion du sous-espace A dans l'espace X .

$c X = \text{card } \mathfrak{c} X$, Connexité de X , cardinal des composantes connexes, sous-espace dense de $\mathfrak{c} X = \mathfrak{X} A(X)$, Compact des caractères de $A(X)$, c.a.d. morphismes d'anneau sur \mathbb{F}_2 où $A(X) = C(X, \mathbb{F}_2)$, Algèbre des \mathbb{F}_2 -constantes locales de X , de groupe additif isomorphe à $\mathfrak{E} X = C(X, \mu_2)$, Groupe des signes locaux, fini si et seulement si $c X$ l'est, en ce cas

$$c X = \dim_{\mathbb{F}_2} \mathfrak{E} X$$

Lemmes A à D, Théorèmes 0 à 2, Corollaires 0 et D, déjà évoqués, sont désormais ainsi dénommés, mais le $m^{\text{ième}}$ énoncé de l'appendice n sera cité, éventuellement précédé d'un «nom d'auteur», par **n.m** en caractères gras.

Le chiffre arabe n en exposant d'un mot n , comme les 0 à 5 apparus page i, indique au lecteur que le fait ou l'argument évoqué par ce mot est justifié par une Blitzbeweis, ou une référence, dans la $n^{\text{ième}}$ des notes, en bout de texte, p. III à VI.

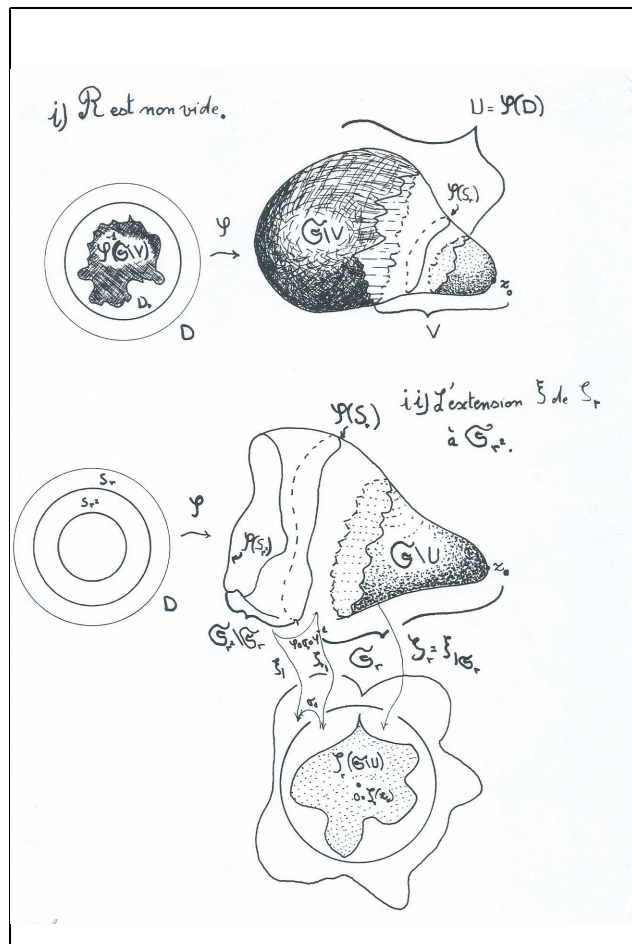


Planche a

Démonstration du Lemme A

Déroulement de la preuve

1 Démonstration du Lemme A. — Soient U et V les deux ouverts élémentaires qui recouvrent \mathfrak{S} et $\varphi : D \rightarrow U$ un isomorphisme. Puisque U n'est pas compact, mais \mathfrak{S} l'est, il y a un point z_0 hors de U .

Pour $r \in]0, 1[$, comme \mathfrak{S} est séparée, \overline{D}_r compact et φ continue, le complémentaire $\mathfrak{S}_r = \mathfrak{S} \setminus \varphi(\overline{D}_r)$ de $\varphi(\overline{D}_r)$ est ouvert dans \mathfrak{S} .

Soit \mathcal{R} l'ensemble des $r \in]0, 1[$ tels qu'il y a un isomorphisme ψ_r de \mathfrak{S}_r sur D . Si $r \in \mathcal{R}$ l'isomorphisme $\zeta_r = \varphi_{\psi_r}(z_0) \circ \psi_r : \mathfrak{S}_r \rightarrow D$ vérifie $\zeta_r(z_0) = 0$.

i) \mathcal{R} est non vide. — En effet le compact $\mathfrak{S} \setminus V$ de $U = \varphi(D)$ est inclus dans $\varphi(D_r)$ pour r assez proche de 1. En ce cas, φ étant⁶ ouverte, $\overline{\mathfrak{S}}_r = \mathfrak{S} \setminus \varphi(D_r)$ est une sous-variété compacte de V d'intérieur \mathfrak{S}_r et de bord, égal à sa frontière $\text{Fr } \mathfrak{S}_r = \text{Fr } \varphi(D_r) = \varphi(S_r)$, connexe. Ainsi l' ω -polygone $\mathfrak{S}_r \subset V \simeq D \subset \mathbb{C}$, isomorphe à un domaine de Jordan, est élémentaire par le COROLLAIRE 0. \square

ii) \mathcal{R} est stable par $r \mapsto r^2$. — L'isomorphisme $\zeta_r : \mathfrak{S}_r \rightarrow D$ a, par le principe de symétrie^{7,7'} de Schwarz, une extension holomorphe injective $\xi : \mathfrak{S}_{r^2} \rightarrow \mathbb{C}$.

Son image $\xi(\mathfrak{S}_{r^2})$ est⁶ ouverte, distincte du plan complexe \mathbb{C} puisque, sinon, le théorème^{8,8'} des singularités inexistantes étendrait à la sphère de Riemann $P_1(\mathbb{C}) = \mathbb{C} \cup \{\infty\}$ l'inverse $\xi^{-1} : \mathbb{C} \rightarrow \mathfrak{S}_{r^2} \subset \mathfrak{S}$ de ξ en une application holomorphe, qui n'étant pas constante est d'image dans \mathfrak{S} à la fois compacte et⁶ ouverte, contredisant que $\overline{\mathfrak{S}}_{r^2} = \mathfrak{S} \setminus \varphi(D_{r^2})$ n'est pas ouvert.

L'ouvert $\xi(\mathfrak{S}_{r^2})$, union de $\xi(\mathfrak{S}_{r^2} \setminus \overline{\mathfrak{S}}_r) = \xi \circ \varphi(D_r \setminus \overline{D}_{r^2})$, homoméomorphe à un anneau semi-fermé, et du disque fermé $\overline{D} = \overline{\xi(\mathfrak{S}_r)}$, satisfait aussi⁹ à la dernière hypothèse du THÉORÈME 0, ainsi $\xi(\mathfrak{S}_{r^2})$ est isomorphe à D et r^2 est dans \mathcal{R} . \square

Le critère de Montel **4.1** donne, si r est dans \mathcal{R} , un isomorphisme

$$\psi : \mathfrak{S} \setminus \varphi^{-1}(0) = \bigcup_{n=1}^{\infty} \mathfrak{S}_{r^{2n}} \rightarrow W \subset \mathbb{C}$$

de $\mathfrak{S} \setminus \varphi^{-1}(0)$ sur un ouvert W de \mathbb{C} qui, d'après le théorème^{8,8''} des singularités inexistantes, s'étend en $\Psi : \mathfrak{S} \rightarrow P_1(\mathbb{C})$ holomorphe injective, donc isomorphisme puisque \mathfrak{S} est compacte et la sphère de Riemann $P_1(\mathbb{C})$ est séparée et connexe.

■ ■

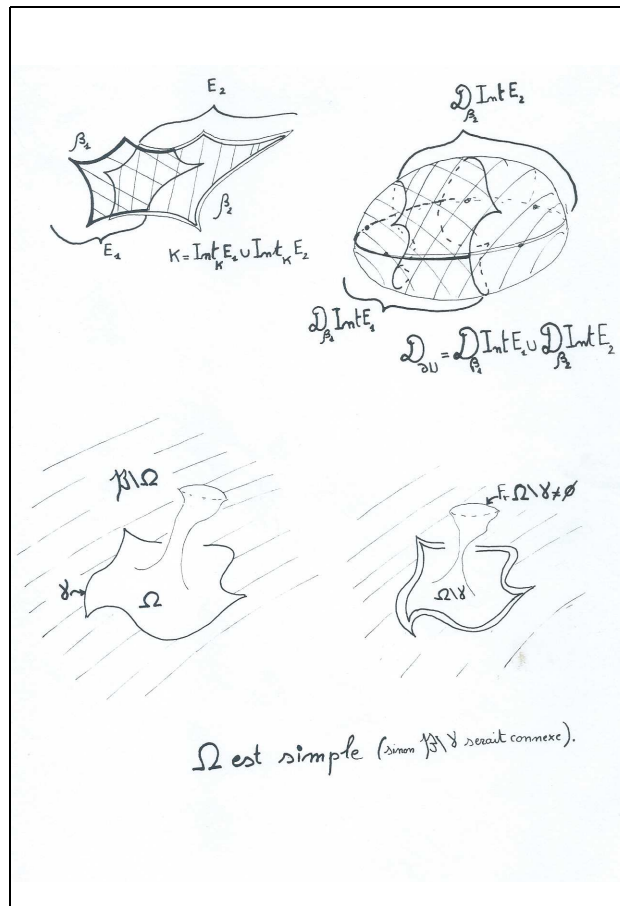


Planche b

Le Lemme B et Affirmation 1

2 Le Lemme B et démonstration du Lemme C. — Un ω -polygone fermé F est la fermeture $F = \overline{U} = U \cup \text{Fr } U$ d'un ω -polygone ouvert U (son *intérieur*).

Le *bord* ∂F d'un ω -polygone fermé F est $\partial F = \partial \text{Int } F$, celui de son intérieur.

Un ω -polygone (ouvert ou fermé) X est *régulier* (resp. *simple*) si son bord est injectif (resp. et d'image connexe). Le bord ∂X s'identifie alors à son image $\text{Fr } X$.

Une *cellule* est un ω -polygone compact simple d'intérieur élémentaire.

Une cellule $E \subset F$ est *périphérique* dans un ω -polygone fermé F la contenant si l'intersection des images de leurs bords est un arc fermé non réduit à un point.

LEMME B. — *Un polygone analytique compact et simple K union des intérieurs relatifs de deux de ses cellules périphériques E_1 et E_2 est une cellule.*

Démonstration. — Soit $U = \text{Int } K$ et $\beta_i = \partial E_i \setminus \overline{U \cap \partial E_i}$. La surface de Riemann $\mathfrak{S} = \mathfrak{D}_{\partial U} U$ double de U sur ∂U (voir l'appendice 3) est compacte et recouverte par les doubles \mathfrak{D}_{β_i} ($\text{Int } E_i$) des intérieurs des cellules E_i sur les arcs β_i , deux disques par **3.6**. Ainsi \mathfrak{S} est, d'après le **LEMME A**, isomorphe à $P_1(\mathbb{C})$.

Toute hétérolution non libre de $P_1(\mathbb{C})$ étant¹⁰ conjuguée à l'inversion σ_1 , l'intérieur U du polygone analytique compact K , isomorphe à une des composantes du complémentaire $\mathfrak{D}_{\partial U} U \setminus \text{Fix } \sigma_{\partial U}$, est élémentaire, donc K est une cellule. ■

Démonstration du LEMME C. — L'union du connexe $\mathfrak{P} \setminus \Omega$ et des composantes non fermées de Ω , sauf au plus une, étant connexe à complémentaire connexe dans la composante de $\mathfrak{P} \setminus \Omega$ dans \mathfrak{P} , la preuve pour Ω connexe suffit. En ce cas :

AFFIRMATION 1. — *Le polygone analytique relativement compact Ω est simple.*

Démonstration. — Sinon sa frontière contiendrait strictement une courbe simple fermée γ de complémentaire $\mathfrak{P} \setminus \gamma = (\Omega \cup \text{Fr } \Omega \setminus \gamma) \cup ((\text{Fr } \Omega \setminus \gamma) \cup (\mathfrak{P} \setminus \overline{\Omega}))$ connexe, car union de deux connexes non disjoints, contredisant la planarité de \mathfrak{P} . ■

Si l'une des composantes de l'un des ouverts U_k rencontre Ω et est compacte, elle serait composante connexe isomorphe à $P_1(\mathbb{C})$ de \mathfrak{P} contenant le ω -polygone simple Ω . Ce dernier serait donc, par le **COROLLAIRE 0**, standard. □

Sinon chaque composante des U_k est élémentaire, et :

AFFIRMATION 2. — *Il y a des cellules $E_{k,h}$, $k = 1, 2, h = 1, \dots, n_k$ telles que :*

- (i) *Les intérieurs $U_{k,h}$ des cellules $E_{k,h}$ recouvrent $\overline{\Omega}$.*
- (ii) *À k fixé les cellules $E_{k,h}$ sont deux à deux disjointes.*
- (iii) *Les composantes de $\partial E_{k,h} \cap \Omega$ sont $\alpha_{k,l}$, $l = 1, \dots, m_k$, en nombre fini, et leurs fermetures $\beta_{k,l} = \overline{\alpha_{k,l}}$ sont deux à deux disjointes.*
- (iv) *Aucune sous-famille stricte des $E_{k,h}$ n'a les propriétés (i), (ii) et (iii).*

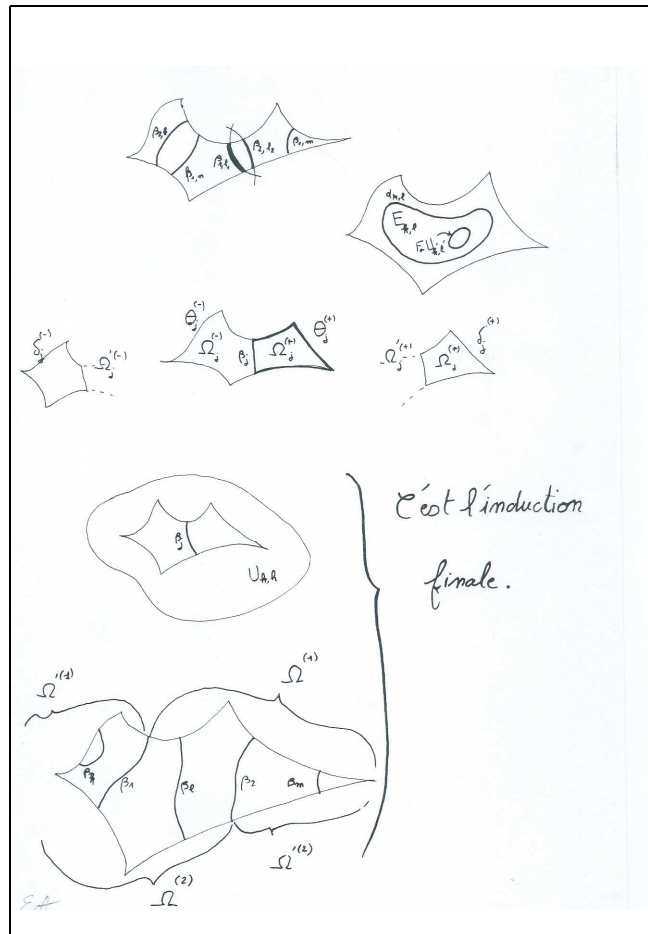


Planche c

fin de démonstration du Lemme C

Démonstration. — Le compact $\overline{\Omega}$ est inclus dans l’union d’une famille finie, dont aucune sous-famille ne le recouvre, de composantes $U_{k,h}$ des U_k munies d’isomorphismes $\varphi_{k,h} : D \rightarrow U_{k,h}$. Pour $r < 1$ assez proche de 1, les $\varphi_{k,h}(D_r)$ recouvrent $\overline{\Omega}$ et leurs bord $\varphi_{k,h}(S_r)$ ne passent par aucun sommet de Ω et sont transverses aux arcs analytiques dont $\text{Fr } \Omega$ est l’union.

Les cellules $E_{k,h} = \varphi_{k,h}(\overline{D}_r)$ satisfont donc à (i), (ii) et (iv), les $\alpha_{k,l}$ sont en nombre fini et, à k fixé, leur frontières dans $\partial E_{k,h} = \partial U_{k,h}$ ainsi que les $\beta_{k,l}$ sont disjoints. Ainsi (iii) est aussi vérifiée, car $\beta_{k,l} \subset \overline{\Omega}$, pour $k = 1, 2$ et tout l mais

$$\beta_{1,l_1} \cap \beta_{2,l_2} \subset \partial E_{1,h_1} \cap \partial E_{2,h_2} \subset \mathfrak{P} \setminus \cup \varphi_{k,h}(D_r) \subset \mathfrak{P} \setminus \overline{\Omega}$$

■

Si $\alpha_{k,l}$ est simple fermée, donc bord $\alpha_{k,l} = \partial E_{k,h}$ d’une des cellules, elle est incluse dans un $U_{k',h'}$ (où $k' = 3 - k$). Or, par (iv), $U_{k,h} \not\subset U_{k',h'}$, et $U_{k,h}$ rencontre, donc contient, la frontière $\text{Fr } U_{k',h'}$. Ainsi Ω , de frontière connexe, est inclus dans la composante compacte de \mathfrak{P} , union des deux ouverts élémentaires $U_{k,h}$ et $U_{k',h'}$. Par LEMME A et COROLLAIRE 0, le ω -polygone simple Ω est donc standard. □

Sinon chaque $\beta_{k,l}$ joint deux points du bord $\partial \Omega$ de Ω . Une induction sur le cardinal m de la famille $\mathcal{B} = \{\beta_j ; j = 1, \dots, m\}$ de ces arcs conclura, grâce à l’

AFFIRMATION 3. — Soit $\theta_j^{(\eta)}$, pour $\eta \in \mu_2$, les deux arcs joignant les extrémités de β_j dans le bord $\partial \Omega$. Chaque α_j sépare Ω en deux ω -polygones connexes $\Omega_j^{(\eta)}$ de bord les ω -courbes simples fermées $\delta_j^{(\eta)}$ union de l’arc β_j et de $\theta_j^{(\eta)}$.

Démonstration. — Selon 1.3(ii), la ω -courbe simple fermée $\delta_j^{(\eta)}$ disjointe du connexe $X^{(\eta)} = (\mathfrak{P} \setminus \overline{\Omega}) \cup \check{\theta}_j^{(-\eta)}$ sépare le planaire \mathfrak{P} en deux ω -polygones connexes :

L’un $\Omega_j^{(\eta)} \supset X^{(\eta)}$ contient $X^{(\eta)}$ et l’autre $\Omega_j^{(\eta)} \subset \Omega$ est inclus dans Ω .

Ainsi $\Omega_j^{(\eta)} \subset \Omega_j^{(-\eta)}$ et l’union $\Omega_j^{(-\eta)} \cup \alpha_j \cup \Omega_j^{(+)}$, disjointe, fermée dans Ω et, contenant un voisinage de α_j , aussi ouverte donc égale à Ω car Ω est connexe. ■

Induction finale. — Si $m \leq 1$ l’arc éventuel β_j de \mathcal{B} est inclus dans un $U_{k,h}$ rencontrant Ω , mais $\partial U_{k,h}$ est disjoint de Ω . L’ouvert simple Ω est donc inclus dans $U_{k,h}$ donc, par le COROLLAIRE 0, élémentaire. □

Sinon \mathcal{B} a deux arcs distincts β_j , $j = 1, 2$. Soit $\Omega^{(j)}$ la composante de $\Omega \setminus \beta_j$ de fermeture $F^{(j)} = \overline{\Omega}^{(j)}$ contenant β_{3-j} et $\Omega'^{(j)}$ l’autre composante.

Comme $\mathfrak{P} \setminus \overline{\Omega}^{(j)} = (\mathfrak{P} \setminus \overline{\Omega} \cup (\partial \Omega \setminus \partial \Omega^{(j)})) \cup ((\partial \Omega \setminus \partial \Omega^{(j)}) \cup \Omega'^{(j)})$ est connexe, et (i) à (iv) de l’AFFIRMATION 2 pour $\Omega^{(j)}$ sont satisfaites par une partie de la famille des $E_{k,h}$ avec un nombre d’arcs $m^{(j)} < m$ inférieur, $F^{(j)}$ est une cellule.

Les intérieurs relatifs de deux cellules $F^{(j)}$ recouvrant le compact régulier $\overline{\Omega}$ et y étant périphériques, $\overline{\Omega}$ est, par le LEMME B, une cellule. Ainsi Ω est élémentaire. ■ ■

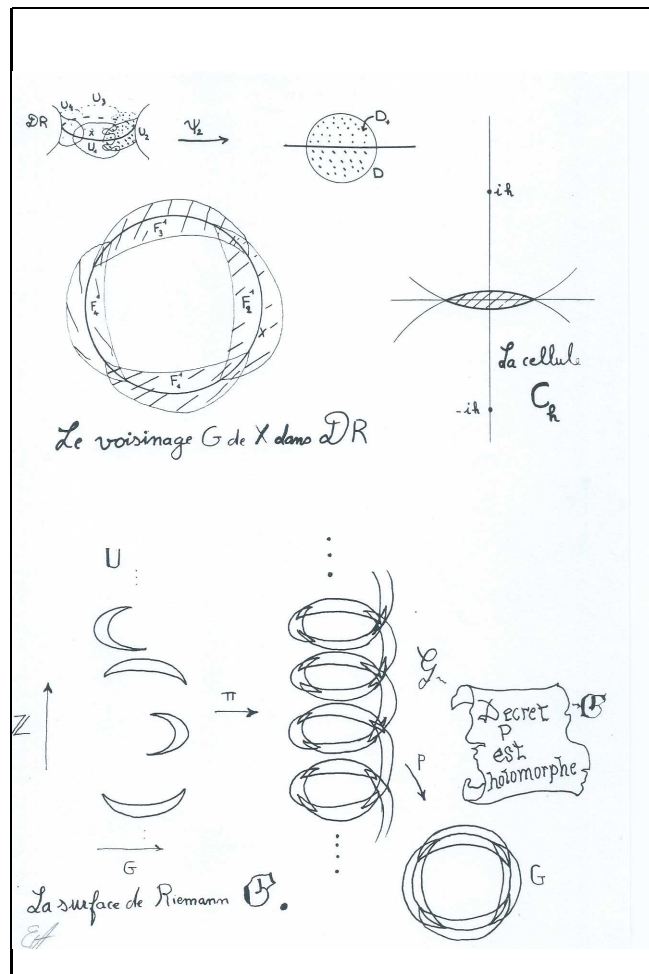


Planche d

Démonstration du Lemme D

3 Démonstration des Lemme D et Corollaire D. — La composante compacte X de $\partial\mathbf{R}$ est recouverte par les intérieurs U_k de N cellules E_k du double \mathfrak{DR} , invariantes par $\sigma_{\mathbf{R}}$, avec de plus : (1) $N - 1$ des U_k ne recouvrent pas X .

En les prenant suffisamment petites, on a en outre $N > 2$ et :

(2) Si deux de ces cellules s'intersectent, elles sont incluses dans une carte.

Pour $k = 1, \dots, N$ soit $\psi_k : (\overline{D}, D, D_+; \text{conj}) \rightarrow (E_k, U_k, U_k \cap \mathbf{R}; \sigma_{\mathbf{R}})$, isomorphismes de triple conjuguant conj aux restrictions de $\sigma_{\mathbf{R}}$, et $\psi_{N+1} = \psi_1$. Quitte à remplacer E_k par $\psi_k(\overline{D}_r)$ [et ψ_k par $\psi_k \circ h_r$], pour $r < 1$ assez proche de 1,

(3) Les ψ_k ont des extensions holomorphes injectives définies sur des voisinages de \overline{D} et les intervalles $I_k = E_k \cap X = \psi_k([-1, 1])$ sont, pour $k \leq N$ de bords disjoints.

Alors, X étant connexe, 2.1 renombrera les I_k de sorte qu'orientés par les ψ_k et avec $I_{N+1} = I_1$, les intersections $I_k \cap I_{k+1}$ sont, pour $k \leq N$, des sous-intervalles fermés stricts de I_k et de I_{k+1} , de bord l'extrémité finale de I_k et l'origine de I_{k+1} , les autres intersections $I_k \cap I_l = \emptyset$ étant vides.

La cellule $C_h = \tau_{-1} \circ h_2(\overline{P}_0, h) = \{z \in \overline{D} : |z + \eta i h|^2 \leq 1 + h^2 \text{ pour } \eta \in \mu_2\}$, est un voisinage de $[-1, 1]$ de bord deux arcs lisses et transverses à \mathbb{R} , mais tendant vers $[-1, 1]$ dans la topologie C^1 quand la finesse h tend vers l'infini.

Par récurrence sur $k = 1, \dots, N$, il y a $h_k > 0$, tels que, si $t \geq 1$, $k \leq N$, les cellules $F_k^t = \psi_k(C_{t h_k})$ et $F_{N+1}^t = F_1^t$ vérifient :

(i) L'intersection $\partial F_k^t \cap \partial F_{k+1}^t$ est transverse et réduite à deux points.

(ii) Si $1 < |k - l| < N - 1$, les cellules F_k^t et F_l^t sont disjointes.

L'union $G = G_1 \cup \dots \cup G_N$, où $G_k = \text{Int } F_k^1$ est un ouvert, σ - (i.e. invariant par $\sigma = \sigma_{\mathbf{R}|G}$)-voisinage de X dans de \mathfrak{DR} . Notant \bar{n} le représentant dans $\{1, \dots, N\}$ de la classe de l'entier $n \in \mathbb{Z}$ modulo N , soit dans $G \times \mathbb{Z}$ l'ouvert

$$U = \{(x, n) \in G \times \mathbb{Z} ; x \in G_{\bar{n}}\}$$

et $\tau_U, \sigma_U : U \rightarrow U$ les restrictions à U de $(x, n) \mapsto (x, n + N)$ et $\sigma \times \text{Id}_{\mathbb{Z}}$.

Sur U est définie l'équivalence \sim par $(x, n) \sim (y, m)$ si et seulement si

$$x = y \text{ et } |n - m| \leq 1$$

La restriction P à U de $\text{pr}_1 : G \times \mathbb{Z} \rightarrow G$ se factorise $P = p \circ \pi$ en π , application quotient de U sur l'espace quotient $\mathcal{G} = U/\sim$, et la *projection* p .

L'espace \mathcal{G} est, car¹² $N \geq 3$, séparé. La relation \sim étant ouverte et la composante $U_n = G_{\bar{n}} \times \{n\}$ de $P^{-1}(G_{\bar{n}})$ homéomorphe par P à $G_{\bar{n}}$, les ouverts U_n de U sont homéomorphes, par la restriction de π , aux ouverts $\mathcal{G}_n = \pi(U_n)$ de \mathcal{G} .

En décrétant p holomorphe, cette surface séparée \mathcal{G} devient, une surface de Riemann \mathfrak{G} , munie de l'hétérolution $\sigma_{\mathfrak{G}}$ quotient de σ_U et de l'action holomorphe propre libre et d'orbites les préimages de p , du groupe cyclique infini engendré par l'isomorphisme $\tau_{\mathfrak{G}}$ induit par τ_U . Ainsi p descend en $\overline{p} : \mathfrak{G}/_{\langle \tau_{\mathfrak{G}} \rangle} \rightarrow G$, isomorphisme équivariant de la surface de Riemann quotient sur un σ -voisinage de X .

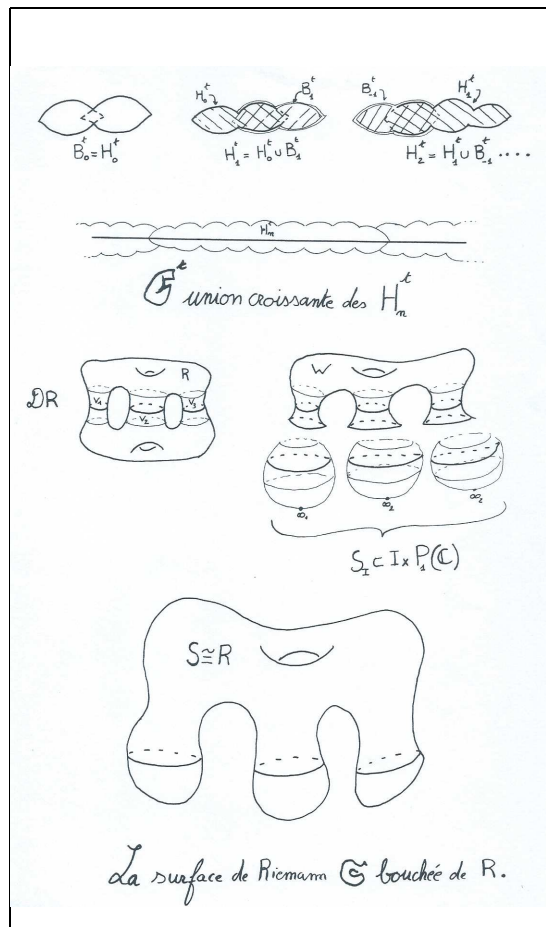


Planche e

Démonstration du Corollaire D

Soit q_n l'inverse de l'isomorphisme de $\mathfrak{G}_n \cup \mathfrak{G}_{n+1}$ sur $G_{\bar{n}} \cup G_{\overline{n+1}}$ que p induit. Pour $t > 1$ l'union $K_k^t = F_k^t \cup F_{k+1}^t$, ω -polygone (3.1(iv)) compact simple de G , est par (2) et COROLLAIRE 0, une cellule, d'image par q_n notée $B_n^t = q_n(K_n^t)$.

Si $t > 1$, la suite $H_{2m}^t = \bigcup_{j=-m}^m B_j^t$, $H_{2m+1}^t = \bigcup_{j=-m}^{m+1} B_j^t$, de ω -polygones (3.1(iv)) compacts, débute par la cellule H_0^t , puis H_{p+1}^t est union des intérieurs relatifs, de H_p^t coupant ∂H_{p+1}^t en un arc, et de la cellule périphérique B_q^t où $q = (-1)^p [\frac{p+2}{2}]$.

Par LEMME B, les H_p^t sont de proche en proche des cellules. L'union de leurs intérieurs \mathfrak{G}^t , est σ -invariante, et élémentaire par Montel 4.1 et Liouville^{11'}.

L'image $G^t = p(\mathfrak{G}^t)$, voisinage $\sigma_{\mathbf{R}}$ -invariant de X dans $\mathfrak{D}R$, est alors équivariantement^{13'} isomorphe au quotient de D par une¹³ homographie réelle θ libre de D , équivariantement^{13''} conjugué à une l'homothétie h_t de rapport $t > 1$ de L_+ .

Il suffit de remarquer que, si $r = e^{-\frac{\pi^2}{\log t}}$, le quotient $(L_+/h_t, \text{conj})$ est, par $\exp \circ h_{\frac{2\pi i}{\log t}} \circ \log$, équivariantement isomorphe à l'anneau invariant (A_r, σ_1) de rayon intérieur r , un voisinage invariant de S^1 dans $(P_1(\mathbb{C}), \text{conj}) \simeq (\mathfrak{D}\overline{D}, \sigma_{\overline{D}})$. ■

Démonstration du COROLLAIRE D. — Soit X_i , pour i dans un ensemble fini I , les composantes de $\partial \mathbf{R}$. Le LEMME D donne, sur des voisinages V_i dans $\mathfrak{D}\mathbf{R}$, deux à deux disjoints des X_i , des isomorphismes $\phi_i : V_i \rightarrow A_{r_i}$, avec $\phi_i(V_i \cap \mathbf{R}) = A_{r_i} \cap \overline{D}$ et équivariants. Soit $V = \cup_{i \in I} V_i$, alors \mathbf{R} a $W = V \cup \mathbf{R}$ pour voisinage dans $\mathfrak{D}\mathbf{R}$. Dans $I \times P_1(\mathbb{C})$, soit l'ouvert $S_I = \{(i, z) \in I \times P_1(\mathbb{C}) ; |z| > r_i\}$.

L'application quotient de l'équivalence \sim sur $S = W \amalg S_I$ définie par :

$$W \supset V_i \ni p \sim (i, \phi_i(p)) \in \{i\} \times A_{r_i} \subset S_I$$

est notée $\pi : S \rightarrow S$. Comme \sim est triviale sur W et sur S_I , et les ϕ_i holomorphes, le quotient est une variété holomorphe. Elle est séparée car un point de $\pi(W)$ et un point de $\pi(S_I)$, non tous deux dans l'un de ces deux ouverts séparés, sont respectivement dans $\pi(\mathbf{R} \setminus \partial \mathbf{R})$ et $\pi(I \times (P_1(\mathbb{C}) \setminus \overline{D}))$, deux ouverts disjoints.

Cette surface de Riemann \mathfrak{S} contient, $\mathbf{S} = \pi(\mathbf{R})$, sous-surface de Riemann isomorphe, par π à \mathbf{R} . L'ouvert complémentaire $\mathfrak{S} \setminus \mathbf{S}$ est standard car ses composantes sont isomorphes à D , par les $(\pi \circ (c_i \times \iota))^{-1} : T_i = \pi(\{i\} \times P_1(\mathbb{C}) \setminus \overline{D}) \rightarrow D$. ■

COCOROLLAIRE D. — Si la surface de Riemann compacte à bord \mathbf{R} est d'intérieur $U = \mathbf{R} \setminus \partial \mathbf{R}$ planaire alors la surface de Riemann compacte \mathfrak{S} construite par le COROLLAIRE D est planaire.

Démonstration. — Soit T_i , $i \in I$ les composantes de $\mathfrak{S} \setminus \mathbf{S}$. Pour tout choix de voisinages ω_i dans $(\mathfrak{S} \setminus \mathbf{S}) \cup V$ de points $p_i \in \overline{T}_i$ il y a un homéomorphisme H analytique par morceaux¹⁴ de \mathfrak{S} à support dans $(\mathfrak{S} \setminus \mathbf{S}) \cup V$ avec $H(\mathfrak{S} \setminus (\cup \omega_i)) \subset \mathbf{S} \setminus \partial \mathbf{S}$.

Ainsi tout ω -cycle compact γ de \mathfrak{S} sépare \mathfrak{S} , puisque, en choisissant les ω_i disjoints de γ , le ω -cycle compact $\beta = H(\gamma)$ sépare l'ouvert planaire U . ■

4 Démonstration des théorèmes

Démonstration du THÉORÈME 1. — La surface de Riemann \mathfrak{P} étant compacte, un nombre fini d'isomorphismes $\psi_i : D \rightarrow U_i$, $i = 0, \dots, N$ de D sont d'images recouvrant \mathfrak{P} . Soit $r < 1$ tel que les $V_i = \psi_i(D_r)$ couvrent encore \mathfrak{P} et $r_n = \frac{r+n}{1+n}$.

Comme \mathfrak{P} est connexe les V_i se renomment dans $I = \{1, \dots, N\}$ de sorte que si $0 < i \leq N$ l'intersection $V_i \cap (\cup_{j < i} V_j) \neq \emptyset$ est non vide.

Si $i \in I$ et n entier, la cellule $E_i^n = \psi_i(\overline{D}_{r_n})$ contient V_i et $V_i^n = \psi_i(D_{r_n})$. Ainsi, d'après 3.1(iv) pour $p \leq N$, l'union $F_p = \cup_{i < N-p} E_i^p$ est un ω -polygone fermé d'intérieur connexe et la fermeture $\overline{\Omega}_p$ de l' ω -polygone complémentaire $\Omega_p = \mathfrak{P} \setminus F_p$ est incluse dans l'union de V_{N-p}^p et Ω_{p-1} (où par convention $\Omega_{-1} = V_N$).

Les V_i^p étant standards, une application inductive du LEMME C révèle comme standards tous les Ω_p . En particulier la surface de Riemann $\mathfrak{P} = \Omega_N$ est standard, étant connexe et compacte, elle est isomorphe à $P_1(\mathbb{C})$. ■

Démonstration du THÉORÈME 2. — Tout compact de \mathfrak{Q} se couvre de l'intérieur d'une union finie de cellules, un ω -polygone (par 3.1(iv)) relativement compact.

Ainsi la famille $\mathcal{URC} = (U_i)_{i \in I}$ des ω -polygones relativement compacts de \mathfrak{Q} est filtrante et recouvre \mathfrak{Q} .

Chaque U_i de \mathcal{URC} est planaire¹⁵, isomorphe à l'intérieur de son arrondie, il est, d'après le COCOROLLAIRE D isomorphe à un ouvert V_i d'une surface de Riemann compacte planaire \mathfrak{S}_i dont chaque composante $\mathfrak{S}_{i,j}$ de \mathfrak{S}_i est, d'après le THÉORÈME 1, isomorphe à $P_1(\mathbb{C})$.

Si \mathfrak{Q} est compact le THÉORÈME 1 conclut.

Sinon aucune des $\mathfrak{S}_{i,j}$, $j = 1, \dots, n_i$ n'est incluse dans l'ouvert V_i .

Isomorphe à une union disjointe de n_i ouverts de disques, complémentaires dans $\mathfrak{S}_{i,j} \simeq P_1(\mathbb{C})$ d'un disque fermé disjoint de l'ouvert V_i , chaque ouvert U_i est donc une carte de \mathfrak{Q} . Ainsi, d'après le critère de Montel 4.1, la surface de Riemann connexe \mathfrak{Q} est isomorphe à un ouvert de $P_1(\mathbb{C})$. ■

Appendices

1 Arcs analytiques, duplicitas et séparation par les ω -graphes

Une *carte* (en un point $p \in \mathfrak{S}$) d'une surface de Riemann \mathfrak{S} est un ouvert $C \subset \mathfrak{S}$ isomorphe par $\zeta : C \rightarrow V$, dit *coordonnée* (en p , centrée si $\zeta(p) = 0$) de C , à un ouvert V de \mathbb{C} . L'inverse $\gamma = \zeta^{-1}$ de ζ est l'*eénnodrooque* (en p associée à ζ).

Un *arc analytique* [ou ω -*arc*] (dans \mathfrak{S}) paramétré par γ , d'*extrémités, initiale* ou *origine* p et *finale* q), est l'image β de l'intervalle $I = [0, 1]$ par une *eénnodrooque* $\gamma : V \rightarrow C$ définie sur un voisinage V de I (avec $\gamma(0) = p$ et $\gamma(1) = q$), et $\tilde{I} =]0, 1[$.

L'*intérieur (formel)* et le *bord* de l' ω -arc $\beta = \gamma(I)$ sont $\check{\beta} = \gamma(\tilde{I})$ et $\partial\beta = \beta \setminus \check{\beta}$.

Un ω -*graphe* de \mathfrak{S} est une famille $\mathcal{B} = (\beta_\lambda)_{\lambda \in \Lambda}$ localement finie, de ω -arcs dans \mathfrak{S} , ses *arêtes*, avec, pour $\lambda \neq \mu$, $\beta_\lambda \cap \beta_\mu$ vide ou une extrémité commune.

La *valence* de $p \in \mathfrak{S}$ dans \mathcal{B} est $v_{\mathcal{B}}(p) = \text{card}\{\lambda \in \Lambda; p \text{ extrémité de } \beta_\lambda\}$.

L'*union* des arêtes β_λ de \mathcal{B} , son *support* $\Gamma_{\mathcal{B}}$, est partitioné par les intérieurs d'*arêtes* $\check{\beta}_\lambda$ et son, discret, *ensemble* $\Delta_{\mathcal{B}} = \{p \in \Gamma_{\mathcal{B}}; v_{\mathcal{B}}(p) \neq 0\}$ de *sommets*.

Une ω -*chaîne* (resp. un ω -*cycle*) de \mathfrak{S} est une union localement finie, de ω -arcs dans \mathfrak{S} , (resp. où tout point est extrémité d'un nombre pair de ces arcs). Ainsi

L'union de deux ω -chaînes (resp. cycles) est une ω -chaîne (resp. un ω -cycle).

Un ω -graphe est *fermé* si tout $p \in \mathfrak{S}$ est de valence $v_{\mathcal{B}}(p)$ paire, $\Gamma_{\mathcal{B}}$ est alors un cycle et (trivialement si $\Gamma = \emptyset$, par¹⁶ sinon) réciproquement :

Une chaîne Γ est support d'un graphe, qui est fermé si Γ est un cycle.

Soit ζ une coordonnée centrée au sommet $s \in \Delta_{\mathcal{B}}$ et, par locale finitude de \mathcal{B} , un voisinage U_r de s ne rencontrant que les arêtes β_k , $k = 1, \dots, v_{\mathcal{B}}(s)$ dont une extrémité est en s , n'en contenant aucune et avec $\zeta(U_r) = D_r$.

Le semi-arc $\alpha_k = \zeta(\beta'_k)$ image de la composante β'_k de s dans $U_r \cap \beta_k$ est paramétré par $f_k : [0, 1[\rightarrow \alpha_k$ avec $f_k(0) = 0$ et $f'_k(0) \neq 0$. Ainsi, pour $\epsilon > 0$ petit, l'intersection $S_\epsilon \cap \zeta(\beta_k \cap U_r)$ est transverse, réduite à un unique point $z_k \in \text{Im } f_k$:

1.0 DÉFEMME. — *Soit Γ une ω -chaîne d'une surface de Riemann \mathfrak{S} .*

Alors tout $s \in \mathfrak{S}$ est centre d'une eénnodrooque γ dite Γ -normale, c.a.d. définie près de \overline{D} avec, pour $\beta'_{\gamma, k}$ des arcs initiaux des arêtes $\beta_{\gamma, k}$ issues de s d'un graphe \mathcal{B} dont Γ est support, $\gamma(\overline{D}) \cap \Gamma = \bigcup_{k=1}^{v_{\mathcal{B}}(p)} \beta'_{\gamma, k}$ (en particulier $\gamma(\overline{D}) \cap \Gamma = \emptyset$ si $v_{\mathcal{B}}(s) = 0$) et $\text{card}(\beta_{\gamma, k} \cap \gamma(S_\rho)) = 1$ pour tout $\rho \in]0, 1]$ et $1 \leq k \leq v_{\mathcal{B}}(p)$.

■

Si $\mathcal{B} = (\beta_\lambda)_{\lambda \in \Lambda}$ est un ω -graphe il y a $h_\lambda > 0$ et N_λ entier pair tel qu'une paramétrisation γ_λ de β_λ est définie sur la perle $P_\lambda = P_{N_\lambda, h_\lambda}$ et les images $\mathfrak{p}_\lambda = \gamma_\lambda(P_\lambda)$ sont deux à deux disjointes¹⁷ et couvrent un voisinage \mathfrak{P} de $\Gamma_{\mathcal{B}} \setminus \Delta_{\mathcal{B}}$.

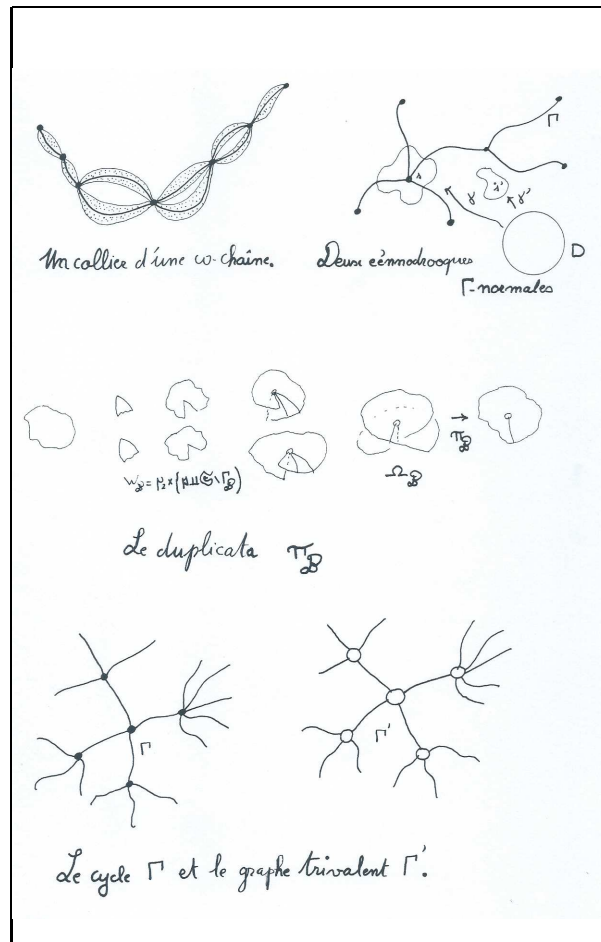


Planche f

Colliers, eennodroques, duplicata, . . .

Un *collier* [paramétré] de la chaîne $\Gamma_{\mathcal{B}}$ de \mathcal{B} (resp. -e *perle* [-e] sur l’arête β_{λ}) est un tel voisinage $\mathfrak{P} [\gamma_{\mathfrak{P}} = \amalg_{\lambda \in P_{\lambda}} \{(\lambda, z) \in \Lambda \times \mathbb{C}; z \in P_{\lambda}\} \rightarrow \mathfrak{P}]$ (resp. $\mathfrak{p}_{\lambda} [\gamma_{\lambda} \mid_{C_{\lambda}}]$).

L’application $(\text{incl}_{\mathfrak{p}}^{\mathfrak{S}} \amalg \text{incl}_{\mathfrak{S} \setminus \Gamma}^{\mathfrak{S}}) \circ \text{pr}_2$ induit, de $W_{\mathcal{B}} = \mu_2 \times (\mathfrak{p} \amalg \mathfrak{S} \setminus \Gamma_{\mathcal{B}})$, sur

$$\Omega_{\mathcal{B}} = W_{\mathcal{B}} / \{(\eta, z) \sim (\eta \eta', z') \text{ si } \text{incl}_{\mathfrak{p}}^{\mathfrak{S}}(z) = \text{incl}_{\mathfrak{S} \setminus \Gamma_{\mathcal{B}}}^{\mathfrak{S}}(z') \text{ et } \eta' \Im \text{pr}_2(\gamma_{\mathfrak{p}}^{-1}(z)) > 0\}$$

en un *duplicata*, c.a.d. revêtement double, $\pi_{\mathcal{B}} : \Omega_{\mathcal{B}} \rightarrow \mathfrak{S} \setminus \Delta_{\mathcal{B}}$, trivial sur $\mathfrak{S} \setminus \Gamma_{\mathcal{B}}$.

1.1 DÉFEMME. — *L’ensemble bord $\partial\Gamma = \{s \in \Gamma_{\mathcal{B}}; v_{\mathcal{B}}(s) \equiv 1 \pmod{2}\}$ des sommets près desquels $\pi_{\mathcal{B}}$ est non trivial, ne dépend que de $\Gamma = \Gamma_{\mathcal{B}}$ et $\pi_{\mathcal{B}}$ est étendu par le duplicata (ramifié sur $\partial\Gamma$ si $\partial\Gamma$ est non vide) $\pi_{\Gamma} : \mathfrak{S}_{\Gamma} \rightarrow \mathfrak{S}$ de \mathfrak{S} sur Γ .*

Démonstration. — Soit $\gamma = \zeta^{-1}$ une éennodrooque Γ -normale γ centrée en $s \in \mathfrak{S}$.

Qui décrit S^1 va $v_{\mathcal{B}}(s)$ fois, par $\zeta(\mathfrak{p}_{\lambda})$ d’une composante d’un $\zeta(\mathfrak{p}_{\lambda} \setminus \beta_{\lambda})$ à l’autre et $\zeta \circ \pi_{\mathcal{B}}$ induit un duplicata trivial de S^1 seulement si $v_{\mathcal{B}}(s)$ est paire.

En ce cas $(\zeta \circ \pi_{\mathcal{B}})^{-1}(\overline{D}^*)$ se recolle avec $\mu_2 \times (P_1(\mathbb{C}) \setminus D)$ en un duplicata de $P_1(\mathbb{C}) \setminus \{0\} \simeq \mathbb{C}$. Ce dernier trivial, $\pi_{\mathcal{B}}$ l’est près de s , d’où puisque, ensemble des s ayant dans Γ une base de voisinages $(U_n)_{n \in \mathbb{N}}$ avec $c(U_n) \equiv c(U_n^*) \pmod{2}$ (ou $U_n^* = U_n \setminus \{s\}$), le bord de $\partial\Gamma$ dépend que de Γ , la première partie.

La seconde suit de la classification¹⁹ des duplicitas de D^* ■

Une section de $\pi_{\Gamma \setminus \mathfrak{S} \setminus \Gamma}$ correspond à un $\eta \in \mathfrak{E}(\mathfrak{S} \setminus \Gamma_{\mathcal{B}})$ et π_{Γ} est isomorphe au duplicata $\pi_{\Gamma^{\eta}}$ sur le ω -cycle Γ^{η} du signe η , union des β_{λ} avec η constant sur $\mathfrak{c}_{\lambda} \setminus \beta_{\lambda}$.

Un tel Γ^{η_m} est minimal pour la coïnclusion si et seulement si il ne sépare aucune composante connexe de \mathfrak{S} . La coïnclusion étant bon ordre sur les ω -cycles de signe, $\Gamma_{\mathcal{B}}$ contient un ω -cycle de signe minimal et ce d’une façon relative :

1.2 DÉCOFAIRE. — (i) *Soit $\Gamma_U \subset \overline{U} \cap \Gamma_{\mathcal{B}}$ le support d’un sous-graphe de \mathcal{B} inclus dans la fermeture d’un ω -polygone U de \mathfrak{S} avec $\pi_{\Gamma_U^{\eta_m}}$ trivial sur $U \setminus \Gamma_U$. Alors $\pi_{\Gamma_{\mathcal{B}}}$ est isomorphe à $\pi_{\Gamma_U^{\eta_m}}$ où le (U, Γ_U) -support réduit $\Gamma_U^{\eta_m}$ de $\Gamma_{\mathcal{B}}$ est minimal et vérifie*

$$\Gamma_{\mathcal{B}} \supset \Gamma_U^{\eta_m} \supset \Gamma_U^{\eta_m} \cap U \subset \Gamma_U \cap U$$

la dernière inclusion étant une égalité si $U \setminus \Gamma_U$ est connexe.

(ii) *Un (et tout) tel $\Gamma_U^{\eta_m} = \emptyset$ est vide et seulement si π_{Γ} est trivial.* ■

Une *courbe simple* (fermée) est le support d’un ω -graphe connexe (compact) de sommets de valence 2, un cycle ne contenant pas de sous-cycle strict.

Tout cycle d’une surface de Riemann \mathfrak{S} contient une courbe simple, d’où le

1.3 COROLLAIRE. — (i) *Une surface de Riemann connexe mais sans duplicita connexe est séparée par toute courbe simple en deux composantes connexes.*

(ii) *Une surface de Riemann \mathfrak{S} est planaire connexe si et seulement toute courbe simple fermée γ de \mathfrak{S} a son complémentaire de connexité $c(\mathfrak{S} \setminus \gamma) = 2$.* ■

Une surface de Riemann, vérifiant la conclusion [resp. l’hypothèse] de **1.3** (i), est *Jordan-simplement connexe* [resp. *acyclique*], l’énoncé de Jordan³ cité p. i est

1.4 LEMME. — *Un ω -polygone U simple non co-compact de \mathbb{C} est acyclique.*

Démonstration. — Soit \mathfrak{p}_λ , $\lambda \in \Lambda$ et γ_s , $s \in \Delta = \Delta_U$ des familles de perles d'un ω -graphe \mathcal{B} de support $\Gamma_{\mathcal{B}} = \text{Fr } U$ et d'eénnodroques $\Gamma_{\mathcal{B}}$ -normales centrées aux sommets de U d'images disjointes et $p : \Omega \rightarrow U$ un duplicata de U .

La composante $\mathfrak{p}_\lambda^* \cap U$ de $\mathfrak{p}_\lambda^* = \mathfrak{p}_\lambda \setminus \beta_\lambda$ est (Weyl-) simplement connexe [*c.a.d.* tous ses revêtements sont triviaux], donc un duplicata $\overline{p} : E \rightarrow \overline{U} \setminus \Delta_U$ étend p .

Ainsi \overline{p} induit, pour $0 < \epsilon < 1$, un duplicata \overline{p}^ϵ de la fermeture \overline{U}_ϵ de l'ouvert $U_\epsilon = U \setminus \bigcup_{s \in \Delta_U} \gamma_s(D_\epsilon)$, un ω -polygone simple de \mathbb{C} .

AFFIRMATION. — *Ce duplicata \overline{p}^ϵ est restriction d'un duplicata π^ϵ de \mathbb{C} .*

Si, sur $\text{Fr } U_\epsilon, \overline{p}^\epsilon$ est trivial, π^ϵ est recollé de $\text{pr}_2 : \mu_2 \times \mathbb{C} \setminus U_\epsilon \rightarrow \mathbb{C} \setminus U_\epsilon$ à \overline{p}^ϵ . Sinon $\text{Fr } U_\epsilon$ est une courbe simple fermée que connecte à ∞ , car $\mathbb{C} \setminus U_\epsilon$ non compact, une demi-droite $d \subset \mathbb{C} \setminus \overline{U}_\epsilon$. Pour une topologie de sa source, $\overline{p}^\epsilon \amalg \pi_d = \pi^\epsilon$. \square

Duplicata d'un simplement connexe, π^ϵ a deux sections sur le connexe U_ϵ . Elles se prolongent à $U = \cup U_\epsilon$, en deux sections trivialisant le duplicata p . ■ ■

1.5 PROPOSITION. — *L'implication (i) de 1.3 est en fait une équivalence.*

Démonstration. — Soit $(\gamma_j)_{j \in J}$ une famille d'eénnodroques normales d'images couvrant \mathfrak{S} et, pour une partie $\phi \subset J$ finie, le ω -polygone relativement compact $U_\phi = \cup_{j \in \phi} \gamma_j(D)$, et $\Gamma_\phi = \cup_{j \in \phi} \overline{\gamma}_j(S^1) \subset \overline{U}_\phi$, support d'un ω -graphe fini \mathcal{B}_ϕ .

L'ensemble des parties finies non vides $\phi \subset J$ avec U_ϕ connexe est noté Φ . Un duplicata p de \mathfrak{S} , étant trivial sur chaque $\gamma_j(D)$, a sa restriction à U_ϕ , pour $\phi \in \Phi$ isomorphe au duplicata sur le support d'un sous ω -graphe fermé \mathcal{B}_ϕ^P de \mathcal{B}_ϕ .

Selon 1.2 et le lemme des mariages^{20, 20'} il y a un ω -graphe \mathcal{B} de \mathfrak{S} de support l'union de réduits de $\Gamma_{\mathcal{B}_\phi^P}$ et dont le duplicata $\pi_{\Gamma_{\mathcal{B}}}$ est isomorphe à p .

Soient γ_s des eénnodroques $\Gamma_{\mathcal{B}}$ -normales centrées en les sommets $s \in \Delta$ de \mathcal{B} avec les $\overline{\gamma}_s(\overline{D})$ disjointes. D'après 1.2 le duplicata p est isomorphe à π_Γ , celui d'un support réduit Γ de l' ω -graphe $\Gamma' = (\Gamma_{\mathcal{B}} \setminus \bigcup_{s \in \Delta} \gamma_s(D)) \cup_{s \in \Delta} \gamma_s(S^1)$.

Les sommets de Γ' étant de valence 3 et le support Γ un cycle d'après 1.1, ce dernier, s'il est non vide, a ses sommets de valence 2 donc est une courbe.

En ce cas \mathfrak{S} non séparée par le réduit Γ donc par chaque composante, une courbe simple, la surface de Riemann \mathfrak{S} n'est pas Jordan-simplement connexe.

Sinon $\Gamma = \emptyset$ et, isomorphe à $\pi_\emptyset = \text{pr}_2 : \mu_2 \times \mathfrak{S} \rightarrow \mathfrak{S}$, le duplicata p est trivial. Le début de preuve ayant pris ce dernier arbitraire, la réciproque de (i) est établie. ■

2 Surfaces de Riemann à bord et double de Klein usuel

Une *surface de Riemann à bord* \mathbf{R} est une variété séparée modelée sur les ouverts de D_+ et de changements de cartes des restrictions d'applications holomorphes injectives définies sur des ouverts de D .

Si $p \in C \subset \mathbf{R}$ est un point d'une carte, de coordonnée $\zeta : C \rightarrow V \subset D_+$, d'une surface de Riemann à bord \mathbf{R} est d'image $\zeta(p) = t \in \mathbb{R}$ réelle, par le théorème⁶ de l'application ouverte, il en sera de même pour toute coordonnée en p .

L'ensemble des tels points est le *bord* $\partial \mathbf{R}$ de la surface de Riemann \mathbf{R} .

Par prolongement analytique¹⁸, une extension holomorphe f d'un changement de carte sur un disque, centré en l'image $t = \zeta(p)$ d'un point du bord par une coordonnée vérifie la relation de commutation $f = \text{conj} \circ f \circ \text{conj}$.

Ainsi le *double* de \mathbf{R} , quotient de $\mathbf{R} \times \mu_2$ par la relation d'équivalence identifiant $(p, -1)$ à $(p, 1)$ si $p \in \partial \mathbf{R}$, muni des coordonnées définies sur les doubles des cartes $C_i, i \in I$ d'un atlas holomorphe $(\zeta_i : C_i \rightarrow V_i \subset D_+)_{i \in I}$ de \mathbf{R} par la coordonnée correspondante $\zeta_i \circ \text{pr}_1$ sur $C_i \times \{1\}$ et $\text{conj} \circ \zeta_i \circ \text{pr}_1$ sur $C_i \times \{-1\}$ est une surface de Riemann $\mathfrak{D} \mathbf{R}$, la *surface de Riemann double* de la surface de Riemann à bord \mathbf{R} , qui, si $\pi : \mathbf{R} \times \mu_2 \rightarrow \mathfrak{D} \mathbf{R}$ désigne l'application quotient :

Contient la copie $\pi(\mathbf{R} \times \{1\})$ de \mathbf{R} , encore notée $\mathbf{R} \subset \mathfrak{D} \mathbf{R}$.

Et est munie de l'hétérolution $\sigma_{\mathbf{R}}$ définie par $\sigma_{\mathbf{R}}(\pi(q, \epsilon)) = \pi(q, -\epsilon)$.

Cette *conjugaison (de double)* $\sigma_{\mathbf{R}}$ a \mathbf{R} , comme domaine fondamental, et la courbe analytique réelle $\partial \mathbf{R} = \text{Fix } \sigma_{\mathbf{R}}$ de $\mathfrak{D} \mathbf{R}$, comme ensemble de points fixe.

Le *double de Klein* de \mathbf{R} est le triplet $(\mathfrak{D} \mathbf{R}, \mathbf{R}, \sigma_{\mathbf{R}})$.

Une carte de \mathbf{R} est *élémentaire* si elle est de double élémentaire. En ce cas elle a^{13'} elle a un coordonnée, dite *élémentaire*, d'image D_+ . Les bords de paires de cartes élémentaires ont quatre configurations possibles:

2.1 LEMME. — Soit $X = \partial C_- \cap \partial C_+$ l'intersection des bords de deux cartes d'une surface de Riemann à bord \mathbf{R} , sources, pour $\eta \in \mu_2$, des coordonnées élémentaires $\zeta_\eta : C_\eta \rightarrow D_+$ et $h = \zeta_+|X \circ (\zeta_-|X)^{-1} : \zeta_-(X) \rightarrow \zeta_+(X)$. Alors X est soit

i) vide.

ii) inclus dans le bord de l'une des deux cartes.

iii) connexe à complémentaire, dans chaque ∂C_η , connexe et non vide.

Quitte à renommer, il y a $a_-, b_+ \in]-1, 1[$ tels que la fonction h est un homéomorphisme croissant de $]a_-, 1[= \zeta_-(X)$ sur $]1, b_+ [= \zeta_+(X)$.

iv) d'image par chacune, $\zeta_\eta, \eta \in \mu_2$ des deux coordonnées, $]1, 1[\setminus [b_\eta, a_\eta]$ le complémentaire d'un intervalle compact de $]1, 1[$.

En ce cas, qui arrive si et seulement si l'union $C_1 \cup C_2$ des deux cartes a pour bord une composante compacte de $\partial \mathbf{R}$, la fonction h induit deux homéomorphismes croissants de $]1, b_-[$ et $]a_-, 1[$ sur $]a_+, 1[$ et $]1, b_+[$ respectivement.

Démonstration. — Supposons que le cas i) ne se produit pas. Soit Y une composante connexe de $X = \partial C_- \cap \partial C_+$, d'image par ζ_η , pour $\eta \in \mu_2$, un intervalle $I_\eta =]a_\eta, b_\eta[$ de $I =]-1, 1[$. Comme la fonction h est restriction d'une application holomorphe injective envoyant l'intervalle réel I_- sur l'intervalle réel I_+ et des points proches dans $D_+ \setminus I$ dans des points de $D_+ \setminus I$, sa dérivée est²¹, sur I_- non nulle et réelle positive, ainsi h est une bijection croissante de I_- sur I_+ .

Si le cas *ii*) n'a pas lieu non plus, l'une des extrémités $c_- \in \{a_-, b_-\}$ de I_- est un point de I . Puisque h est croissante bornée $h(t)$ a, quand t tend vers c_- , une limite $c_+ \in \bar{I} = I \cup \{-1, 1\}$. Ce point $c_+ \notin I$ n'est pas dans l'intervalle I car, sinon, les points $x_\eta = \zeta_{\eta|X}^{-1}(c_\eta)$ pour $\eta \in \mu_2$ seraient deux points de \mathbf{R} distincts (car situés respectivement dans les ensembles disjoints $C_- \setminus C_+$ et $C_+ \setminus C_-$) et sans voisinages disjoints, contredisant la séparation de \mathbf{R} . Ainsi, comme h est continue strictement croissante et $I_+ = h(I_-)$ strictement inclus dans I , car le cas *ii*) est supposé exclu, l'autre extrémité $d_- \in \{a_-, b_-\} \setminus \{c_-\}$ de I_- n'est pas dans l'intervalle I et $\zeta_1(Y)$ est une des deux composantes connexes de $I \setminus \{c_-\}$.

Comme trois telles sections d'un intervalle ont une intersection non vide et la fonction h est strictement croissante sur chaque composante connexe, soit $X = Y$ est connexe, c'est le cas *iii*), sinon X a deux composantes connexes : le cas *iv*). ■

3 bord et double de Klein des ω -polygones

3.1 LEMME. — Soit \mathfrak{S} une surface de Riemann alors (i) Un ouvert U de \mathfrak{S} est un ω -polygone ouvert de \mathfrak{S} si et seulement si $\mathfrak{S} \setminus U$ est un ω -polygone fermé de \mathfrak{S} .

(ii) Si U est ouvert intérieur de sa fermeture et de frontière une ω -chaîne Γ chacune de ses composantes connexes U_i et U sont des ω -polygones ouverts.

(iii) L'ensemble des ω -polygones ouverts de \mathfrak{S} est stable par intersection finie.

(iv) L'ensemble des ω -polygones fermés de \mathfrak{S} est stable par réunion finie.

(v) Le complémentaire d'un ω -polygone fermé dans un ω -polygone ouvert est un ω -polygone ouvert.

Démonstration. — (i) Soit $V = \text{Int}(\mathfrak{S} \setminus U)$ alors la condition portant sur l'intérieur $U = \text{Int} \overline{U}$ (resp. $V = \text{Int} \overline{V}$) pour que U (resp. V) soit un ω -polygone ouvert, est (ou n'est pas) simultanément remplie par U et V car équivalente à $\text{Fr } U = \text{Fr } V$, qui remplit, donne aussi la symétrie de l'autre condition : la frontière est un ω -cycle.

(ii) Soit \mathcal{B} un ω -graphe de support Γ et \mathfrak{p} un collier de \mathcal{B} . Si β_λ est une arête de \mathcal{B} , la perle percée $\mathfrak{p}_\lambda \setminus \beta_\lambda$ est disjointe de $\text{Fr } U$ ainsi, comme $\text{Int} \overline{U} = U$, une de ses composantes est disjointe de U et l'autre incluse dans U donc dans une composante U_{i_λ} de U . Chaque $\Gamma_i = \text{Fr } U_i$ est donc support d'un sous- ω -graphe \mathcal{B}^i de ∂U . Les signes $\eta \in \mathfrak{E}(\mathfrak{S} \setminus \Gamma)$ et $\eta_i \in \mathfrak{E}(\mathfrak{S} \setminus \Gamma_i)$, définis par $\eta^{-1}(1) = U$ et $\eta_i^{-1}(1) = U_i$, scindant π_Γ et π_{Γ_i} , ces duplicitas sont non ramifiés et, selon 1.1, $\text{Fr } U = \partial \Gamma = \emptyset = \partial \Gamma_i = \text{Fr } U_i$. Ainsi Γ et Γ_i sont des ω -cycles. D'autre part comme

$$U_i \subset \text{Int} \overline{U_i} \subset \text{Int} \overline{U} \cap \overline{U_i} \subset U \cap \overline{U_i} = (\coprod_{j \in J} U_j) \cap \overline{U_i} = U_i$$

la première condition $U_i = \overline{U_i}$ est aussi vérifiée et U_i est un ω -polygone ouvert.

(v) suit de (i) et (iii), ce dernier, d'après (i), équivalent à (iv), il suffit d'établir que l'intersection de deux ω -polygones ouverts U et V est un ω -polygone ouvert :

$$U \cap V \subset \text{Int}(\overline{U \cap V}) \subset \text{Int}(\overline{U} \cap \overline{V}) \subset \text{Int} \overline{U} \cap \text{Int} \overline{V} \subset U \cap V \text{ et } U \cap V = \text{Int}(\overline{U \cap V})$$

Les ω -arcs de ∂U et ∂V se coupant deux à deux en un, deux ω -arcs, ou un ensemble fini, la frontière $\text{Fr}(U \cap V) \subset \text{Fr}(U) \cup \text{Fr}(V)$ est une ω -chaîne Γ et (ii) conclut. ■

3.2 DÉCOFAIRE. — Soit U un ω -polygone ouvert, \mathcal{B} un ω -graphe de support ∂U et γ une éennodrooque ∂U -normale en un point $p \in \partial U$, alors pour tout $\epsilon \in]0, 1[$:

(i) La (ϵ, γ) -étoile de U en p est le ω -polygone $U \cap \gamma(D_\epsilon) = U_\epsilon (= U_{\epsilon, \gamma})$.

(ii) L' (ϵ, γ) -étoile en p a $\frac{v_{\mathcal{B}}(p)}{2}$ composantes connexes $U_{\epsilon, \gamma, i}$, $1 \leq i \leq \frac{v_{\mathcal{B}}(p)}{2}$, ω -polygones simples, dits $((\epsilon, \gamma))$ -secteurs de U en p , avec $U_{\epsilon', \gamma, i} \subset U_{\epsilon, \gamma, i}$ si $\epsilon' < \epsilon$.

Démonstration. — U et $\gamma(D_\epsilon)$ étant des ω -polygones ouverts, (i) suit de 3.1(iii). Chaque $U \cap \gamma(S_\eta)$, pour $0 < \eta < \epsilon$ est, par normalité de γ union de $\frac{v_{\mathcal{B}}(p)}{2}$ arcs ouverts deux à deux disjoints d'extrémités sur les $v_{\mathcal{B}}(p)$ arrêtes de $\partial U \cap U_\epsilon$ d'où (ii). ■

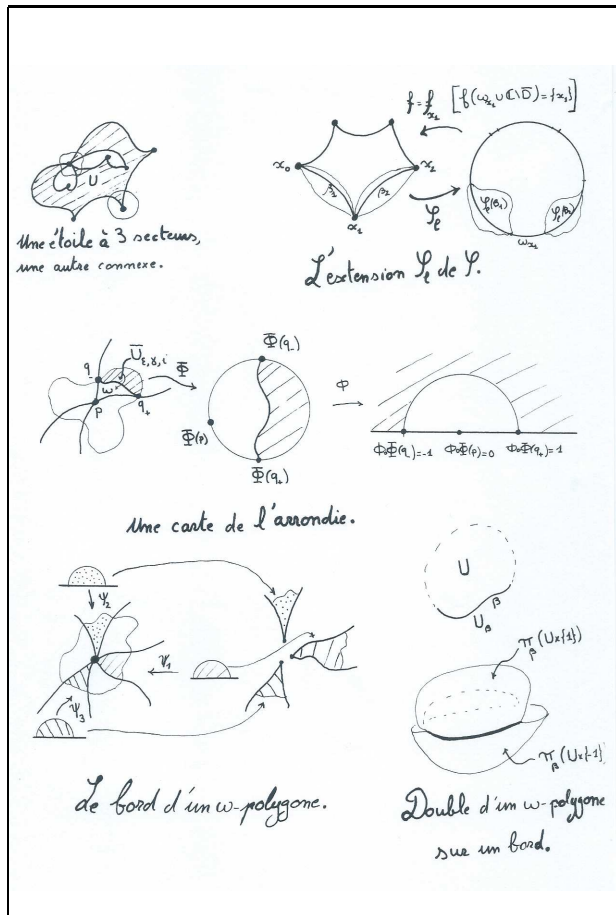


Planche g

bord et double de Klein des ω -polygones

3.3 PROPOSITION. — *Soit K une cellule d'intérieur U , alors tout isomorphisme $\varphi : U \rightarrow D$ s'étend en un homéomorphisme $\Phi : K \rightarrow \overline{D}$.*

Démonstration. — Soit $X \subset \partial K$ l'ensemble fini des sommets du bord. D'après le principe de symétrie de Schwarz⁷, φ a un prolongement φ_l holomorphe injectif défini sur un voisinage de l'ensemble $K_l = K \setminus X$ des points lisses de K .

D'après 3.2(ii) (ici les valences valent 2) l'ensemble d'accumulation de φ sur les filtres des voisinages d'un sommet $x \in X$ est connexe, donc un arc de cercle ω_x , $x \in X$. Comme φ_l est injective sur ∂K_l ces arcs sont disjoints et, la fermeture de l'image de φ étant $\overline{D} \supset S^1$, ils recouvrent le complémentaire $S^1 \setminus \varphi_l(\partial K_l)$.

Si l'intérieur α dans S^1 de l'un, ω_x , de ces arcs est non vide alors $U = \mathbb{C} \setminus (S^1 \setminus \alpha)$ est un ouvert connexe de \mathbb{C} et l'application $f : U \rightarrow S$ définie par $f(z) = \varphi^{-1}(z)$, si z est dans D et $f(z) = x$, sinon est continue et holomorphe sur le complémentaire de l'arc α . Le Corollaire de Morera²² assure qu'elle est holomorphe sur U , contredisant le prolongement analytique¹⁸ puisque f est non constante sur l'ouvert connexe U , mais sa restriction à l'ouvert $\mathbb{C} \setminus \overline{D}$ l'est.

Ainsi, l'ensemble d'accumulation $\omega_x = \{\theta_x\}$ est réduit à un point et $x \mapsto \theta_x$ étend φ_l en l'homéomorphisme Φ cherché. ■

3.4 COROLLAIRE. — *Soit $U_{\epsilon, \gamma, i}$ un secteur en un point $p \in \text{Fr } F$ frontière d'un ω -polygone fermé F d'une surface de Riemann S .*

Il y a un voisinage ouvert ω de p dans la fermeture $\overline{U}_{\epsilon, \gamma, i}$ homéomorphe à D_+ par $\Psi : (\omega, p) \rightarrow (D_+, 0)$, holomorphe sur $U_{\epsilon, \gamma, i}$ et telle que $\Psi(\omega \cap \text{Fr } F) =]-1, 1[$.

Démonstration. — Le secteur fermé $\overline{U}_{\epsilon, \gamma, i}$ est, par 3.2(ii) et COROLLAIRE 0, une cellule. Soit $\Phi : \overline{U}_{\epsilon, \gamma, i} \rightarrow \overline{D}$ l'homéomorphisme, holomorphe sur $U_{\epsilon, \gamma, i}$ de 3.3.

Si $q_-, q_+ \in \overline{U}_{\epsilon, \gamma, i} \cap \gamma(S_\epsilon)$ sont les sommets de $\overline{U}_{\epsilon, \gamma, i}$ distinct de p , l'homéomorphisme Ψ est la restriction à $V = \Phi^{-1}(D_+)$ de $\phi \circ \Phi$ où ϕ est l'homographie telle que $\Im \phi(0) > 0$, $\phi(\Phi(p)) = 0$ et $\{\phi(\Phi(q_+)), \phi(\Phi(q_-))\} = \{-1, 1\}$. ■

Soit Υ un ensemble indiquant tous les homéomorphismes Ψ que 3.4 donne. Sur le quotient B du produit $\Upsilon \times]-1, 1[$ par l'équivalence identifiant (v, t) à (v', t') si et seulement si $\Psi_v(t) = \Psi_{v'}(t')$ est définie le bord du ω -polygone U :

$$\beta = \partial U : B \rightarrow \text{Fr } U, (\overline{v, t}) \mapsto \Psi_v(t)$$

Si $\Upsilon_\beta = \{v \in \Upsilon; \omega_v \cap \text{Fr } F \subset \beta(B)\}$ où $\beta : B \rightarrow \text{Fr } U$ est un bord d'un ω -polygone ouvert U , le quotient de l'union disjointe $\mathcal{U}_\beta = U \amalg_{v \in \Upsilon_\beta} \omega_v$ par l'équivalence identifiant $v \in \omega_v$ à $u \in U$ si $\text{incl}_{\omega_v}^\mathbb{S}(v) = \text{incl}_U^\mathbb{S}(u)$ est noté $\rho_\beta : \mathcal{U}_\beta \rightarrow U_\beta$, une surface topologique séparée de bord $B = U_\beta \setminus \rho_\beta(U)$ et contenant $\Omega_v = \rho_\beta(\omega_v)$.

Sur le produit $U_\beta \times \mu_2$ l'équivalence \sim identifiant chaque point $(x, \epsilon) \in B \times \{\epsilon\}$ de la courbe B de la copie d'indice $\epsilon \in \mu_2$ à son homologue $(x, -\epsilon) \in B \times \{-\epsilon\}$ dans l'autre copie et $\pi_\beta : U_\beta \times \mu_2 \rightarrow \mathcal{D}_\beta U = U_\beta \times \mu_2 / \sim$ l'application quotient.

Si $p = \rho_\beta(v) \in \Omega_v$ alors $\Phi(\rho_\beta(v, \epsilon)) = \text{conj}^{\frac{1-\epsilon}{2}} \circ \Psi_v(v)$ définit un homéomorphisme Φ_v du voisinage $\mathcal{D}_{\partial \Omega_v} \Omega_v$ de $\pi_\beta(p, \epsilon)$ dans $\mathcal{D}_\beta U$ sur le disque unité.

Ces coordonnées donnent les structures de surface de Riemann transportées par π_β , sur les $\pi(\text{Int } \Omega_\nu \times \{1\})$ et $\pi(\text{Int } \Omega_\nu \times \{-1\})$ de celle de \mathfrak{S} et respectivement la structure conjuguée. D'où un atlas holomorphe sur $\mathfrak{D}_\beta U$ car, par le Corollaire de Morera²², elles sont aussi holomorphiquement compatibles entre elles.

L'application $\sigma_\beta : \mathfrak{D}_\beta U \rightarrow \mathfrak{D}_\beta U$ définie par $\sigma_\beta(\pi_\beta(z, \epsilon)) = \pi_\beta(z, -\epsilon)$ est, pour cette structure holomorphe, une hétérolution et a pour ensemble de points fixe et domaine fondamental les sous-variétés analytiques images de B et U_β par l'application continue injective et holomorphe sur $\rho_\beta(U)$:

$$i_\beta : U_\beta \rightarrow \mathfrak{D}_\beta U, i_\beta(z) = \pi_\beta(z, 1)$$

Le *double de Klein* de l' ω -polygone ouvert U muni du bord β est le triplet $(\mathfrak{D}_\beta U, \mathbf{U}_{a\beta}, \sigma_\beta)$, double de Klein de $\mathbf{U}_{a\beta} = i_\beta(U_\beta)$, la *surface de Riemann à bord arrondie de U sur C* . Le Corollaire de Morera²² en donne la caractérisation :

3.5 PROPOSITION. — *Si \mathfrak{S} est une surface de Riemann munie de σ , une hétérolution et si $f : U_\beta \rightarrow \mathfrak{S}$ est continue, holomorphe sur U et telle que $f(B) \subset \text{Fix } \sigma$, alors il y a une unique application $F : \mathfrak{D}_\beta U \rightarrow \mathfrak{S}$ holomorphe, (σ_β, σ) -invariante (i.e. $\sigma \circ F = F \circ \sigma_\beta$) telle que $F \circ i_\beta = f$.* ■

D'où, puisque le complémentaire dans la sphère de Riemann $P_1(\mathbb{C}) \setminus I$ d'un intervalle fermé non réduit à un point I de $P_1(\mathbb{R})$ est isomorphe au disque unité :

3.6 COROLLAIRE. — *Le double d'une carte simple régulière sur un arc ouvert non dense de sa frontière est équivariantement isomorphe à (D, D_+, conj) , le disque unité muni du demi-disque Nord et de la conjugaison complexe.* ■

4 Une caractérisation de carte dans les surfaces de Riemann

Une famille $(C_i)_{i \in I}$ de parties de \mathfrak{S} est *filtrante* si pour toute paire $\{C_i, C_j\}$ de ces parties, il y a dans la famille une $C_k \supset C_i \cup C_j$ les contenant toutes deux.

4.1 CRITÈRE DE MONTEL. — *Soit dans une surface de Riemann \mathfrak{S} un ouvert connexe U union d'une famille filtrante $(C_i)_{i \in I}$ de cartes de \mathfrak{S} alors U est une carte de \mathfrak{S} qui, si chaque C_i est isomorphe à D , est isomorphe à D ou à \mathbb{C} .*

Démonstration. — Soit $p_0 \in C_0 \subset \mathfrak{S}$ fixé, $\varphi : 5D \rightarrow U_1$ un isomorphisme sur un voisinage de p_0 , avec $\varphi(0) = p_0$ et $U^0 = U \setminus \varphi(\overline{D})$. Comme $(C_i)_{i \in I}$ est filtrante, il y a $J \subset I$ tel que $(C_j)_{j \in J}$ est filtrante, recouvre U , et chaque C_j contient $\varphi(4D) = U_0$.

Si $j \in J$ soit $\zeta'_j : C_j \rightarrow V_j \subset \mathbb{C}$ une coordonnée avec $\zeta_j(p_0) = 0$. Il y a $t > 0$ tel que $\zeta_j = h_t \circ \zeta'_j$ vérifie $\zeta_j(C_j \setminus \varphi(\overline{D})) \subset \mathbb{C} \setminus \overline{D}$ mais $\zeta_j(q_j) = \theta_j \in S^1$, pour un point $q_j = \varphi(\eta_j) \in \varphi(S^1)$. D'après le théorème de Montel²³, les restrictions

$$\zeta_j|_{U^0} : U^0 \rightarrow \mathbb{C} \setminus \overline{D} \subset P_1(\mathbb{C}) \setminus \overline{D} \xrightarrow{t} D$$

des ζ_j à U^0 forment une famille normale de fonctions méromorphes.

Il y a donc $K \subset J$, cofinale pour l'ordre sur J d'inclusion des C_j , $j \in J$, telle que $(\zeta_k)_{k \in K}$ converge suivant le filtre des sections de K , uniformément sur tout compact de U^0 , vers $\zeta : U^0 \rightarrow \{\infty\} \cup \mathbb{C} \setminus \overline{D}$. Limite uniforme sur tout compact de fonctions holomorphes, ζ est méromorphe^{8'''} et n'est pas une constante c_v car :

- i) si $v \neq \infty$ la formule de Cauchy²⁴, exprimant $f_j = \zeta_j \circ \varphi|_{D_2} : D_2 \rightarrow \mathbb{C}$ par des intégrales sur S_3 , donnerait que les restrictions $\zeta_j|_{\varphi(D_2)}$ convergent uniformément sur tout compact vers c_v , contredisant $\zeta_j(p_0) = 0$ et $|\zeta_j(q_j)| = 1$.
- ii) si $v = \infty$ le principe de l'argument²⁵, donne $j \in J$ tel que $g_j(D_2) \supset g_0(\overline{D_2})$, où $g_j = \zeta_j \circ \varphi$. Alors $f = h_{\frac{1}{2\eta_j}} \circ g_j^{-1} \circ h_{\frac{\theta_j}{\theta_0}} \circ g_0 \circ h_{2\eta_0}$, holomorphe non sujective de D dans D , violerait le lemme de Schwarz²⁶, puisque $f(0) = 0$ et $f(\frac{1}{2}) = \frac{1}{2}$.

L'infini n'étant dans l'image des ζ_j , le principe de l'argument assure que ∞ n'est pas valeur de ζ . La formule de Cauchy donne la convergence uniforme sur tout compact de $\varphi(D_2)$. Ainsi les ζ_j , $j \in J$, holomorphes injectives, convergent uniformément sur tout compact de U vers une fonction holomorphe ζ qui n'étant pas constante est²⁷ un isomorphisme holomorphe de U sur un ouvert de \mathbb{C} . \square

La dernière assertion suit du THÉORÈME 0, car une union V filtrante d'ouverts V_i de \mathbb{C} vérifiant les hypothèses du THÉORÈME 0 en vérifie²⁸ la dernière. $\blacksquare \blacksquare$

Remarque. — Théorème 0 s'évite : Choisir $V_i = D_{R_i}$, le Lemme de Schwarz²⁶ assure $R_i \leq R_j$ si $C_i \subset C_j$. Ainsi $(D_{R_k})_{k \in K}$ est filtrante d'union $\cup D_{R_i} = D_R$, où $R = \sup R_i \in]0, \infty]$ et on convient $D_\infty = \mathbb{C}$. Partie de l'argument précédent donne $L \subset K$ cofinale telle que les $\chi_l = \zeta \circ \zeta_l^{-1} : D_{R_l} \rightarrow \mathbb{C}$ convergent suivant le filtre des sections de L vers $\chi : D_R \rightarrow \mathbb{C}$. Par prolongement analytique¹⁸, étant l'inclusion au voisinage de 0, χ est $D_R \hookrightarrow \mathbb{C}$ donc \dots \square

Epilogue

Commentaires sur littérature et tradition orale

A l'automne 1989, J.-P. Demailly [Dy] racontait ainsi l'uniformisation :

Une surface de Riemann simplement connexe non compacte \mathfrak{S} se couvre des composantes relativement compactes U_γ du complémentaire de courbes simples fermées γ analytiques réelles. La surface de Riemann compacte simplement connexe à bord $U_\gamma \cup \gamma$, a pour double une surface de Riemann compacte simplement connexe isomorphe (par Riemann-Roch) à la droite projective, ainsi U_γ est isomorphe au disque et grâce à Montel \mathfrak{S} est isomorphe au disque ou au plan.

L'analyse était donc éliminée du théorème d'uniformisation puisque Riemann-Roch ne nécessite rien de plus que le théorème de compacité de Montel.

Des idées issues de la topologie géométrique ([Dy] et [Ss]) donneront le Lemme A, l'extension dans la catégorie des surfaces de Riemann de la caractérisation topologique, attribuée à Brown, mais qu'on ne trouve que dans [Dy], de la sphère comme seule variété compacte couverte par deux disques permettant d'obtenir, sans Riemann-Roch ni géométrie analytique, le cas compact de l'uniformisation ([Mn]).

La preuve utilisait un engoufrement par symétrie de Schwarz dans une triangulation de la surface, procédé qui, bien auparavant (Cf. [Wn], [Cy]) fourni à B.L. van der Waerden le théorème d'uniformisation, en supposant la triangulabilité, avec un minimum d'analyse, préfigurant l'énoncé moderne ([Me], [Be-Sn]) :

Les surfaces de Riemann sans composante compacte sont des variétés de Stein

mais faisait disparaître la belle idée de double gardée dans le présent texte.

La théorie d'Eilenberg dans le plan donne que si $\varphi : C \rightarrow V \subset \mathbb{C} \subset P_1(\mathbb{C})$ est une carte connexe dans une surface de Riemann planaire connexe \mathfrak{P} alors les composantes connexes E_i , $i \in I$ de $\mathfrak{P} \setminus C$ ont dans \mathfrak{P} des voisinages U_i deux à deux disjoints tels que pour chaque $i \in I$ il y a une composante F_i de $P_1(\mathbb{C}) \setminus V$ avec $\cup_{i \in I} F_i = P_1(\mathbb{C}) \setminus V$ et $\varphi(C \cap U_i) \cup F_i$ est un voisinage de F_i dans $P_1(\mathbb{C})$. Ceci permet d'obtenir par une induction nécessitant un ordre de séparation sur les composantes du complémentaire des composantes d'une carte l'énoncé :

Une surface de Riemann planaire compacte couverte de deux cartes est isomorphe à $P_1(\mathbb{C})$.

Le double d'un ω -polygone simple relativement compact dans une surface de Riemann planaire \mathfrak{P} vérifiant les hypothèses de cet énoncé, le Théorème 1 en découle, par une modification de la preuve donnée p.10. Le théorème d'uniformisation vient alors par la réduction de Demailly.

Ceci (conté en 1999) évite Lemmes B et C mais exige plus de topologie : *Une des composantes du complémentaire d'une courbe simple fermée dans une surface de Riemann simplement connexe est relativement compacte et le double d'un ω -polygone simple dans une surface de Riemann planaire est planaire*. Bien qu'il n'en soit rien dit dans [Mn] ces deux dernières «assertions évidentes» sont non triviales, surtout dans une surface non encore sue paracompacte.

Implicites dans toutes ces approches est une arithmétique de la séparation dans les surfaces, précisément énoncée et établie par Jordan ([Jn]) et dont l'Appendice 1 donne une version pour les surfaces de Riemann qui avec des modifications mineures s'applique aux surfaces analytiques non nécessairement paracompactes.²⁹ Mystérieusement ce «calcul de Jordan» est bien moins cité que le «Théorème de Jordan» prouvé dans [Jn] mais n'y ayant pas le statut d'énoncé.

L'alternative choisie dans le texte réduit la topologie nécessaire à la partie facile de cette «topologie de Jordan» (l'appendice 1 sans 1.5) et retrouve le Satz 1 de [Be-Sn] :

Un ouvert relativement compact d'une surface de Riemann est isomorphe à un ouvert à complémentaire standard dans une surface de Riemann compacte.

où il y avait une idée proche de celle du double (et la base des constructions de l'appendice 1) :

Pour inciser le long d'arêtes et «recoller en croix des lèvres de la plaie» sans besoin d'applications quasi-conformes assurant l'inexistence de singularité aux sommets, Benke et Stein se limitent aux surfaces de Riemann étalées sur $P_1(\mathbb{C})$ et aux triangles préimages de triangles de côté arcs de cercle-droites : les recollements, sinon l'identité comme dans le cas du double, sont des homographies et l'uniformisation d'un voisinage épointé du sommet se donne explicitement.

Références

- [Be-Sn] BENKE H., STEIN K. — *Entwicklung analytischer Funktionen auf Riemannschen Flächen.*, Math. Annalen, **120**, 430-461, (1948).
- [Cy] CARATHEODORY C. — *Conformal representation.*, Cambridge tracts in Mathematics n°28, Cambridge University Press, (1941).
- [Cy'] CARATHEODORY C. — *Theory of functions of a complex variable*, Vol 1 et 2, Chelsea, (1954).
- [Dŷ] DEMAILLY J.-P. — *Comment réduire le théorème d'uniformisation au cas compact*, Conversation de comptoir, Gerland, Automne 1989.
- [Dy] DOUADY A. — *Plongements de sphères (d'après Mazur et Brown)*, Exposé N° 205 du Séminaire Bourbaki, 1-6, W.A. Benjamin (1960-1961).
- [Dy'] DOUADY A. — *Arrondissement des arêtes*, Exposé N° 3 du Séminaire H. Cartan, (1961-1962).
- [Fr] FORSTER O. — *Riemannsche Flächen*, Heidelberger Taschenbücher 184, Springer-Verlag, (1977).
- [Jn] JORDAN C. — *Cours d'analyse*, Gauthier-Villars, (1894).
- [Me] MALGRANGE B. — *Existence et approximation des solutions des équations aux dérivées partielles et des équations de convolution.*, Ann. Inst. Fourier **6**, 271-355, (1956).
- [Mn] MARIN A. — *Le théorème d'uniformisation de Riemann d'après Demaillary et Stallings.*, Sem. di Geom. reale, Univ. Pisa, Dip. di Mat., Sez. di geom. e alg. 1.41, **560**, 35-36, (1990).
- [Na] NEVANLINNA R. — *Uniformisierung*, Grundlehren der Mathematischen Wissenschaften LXIV, Springer-Verlag (1953).
- [Ro] RADÓ T. — *Über den Begriff der Riemannschen Fläche.*, Acta Szeged **2**, 101-121, (1925).
- [Rn] RUDIN W. — *Real and Complex Analysis*, McGraw-Hill (1966), 2nd edition (1974).
- [Sr] SPRINGER G. — *Introduction to Riemann surfaces*, Addison-Wesley (1957).
- [Ss] STALLINGS J.R. — *The piecewise linear structure of Euclidean space.*, Proc. camb. Phil. Soc. **58**, 481-488, (1962).
- [Wn] VAN DER WAERDEN B.L. — *Topologie und Uniformisierung der Riemannschen Flächen.*, Ber. sächs Akad. Wiss. Leipzig, math.-phys. Kl. **93**, 147-160, (1941).
- [Wl] WEYL H. — *Die Idee der Riemannschen Fläche*, Teubner (1913) et 2nded. (1955).

Notes

⁰ et pas seulement voir [Dy]^{0'}, pour les textes, on consultera la bibliographie de [Na] ainsi que les références donnée par H. Weyl dans les notes du §20 de l'édition de 1955 [WI] (p. 137-139).

^{0'} à qui revient de porter le chapeau [^] de l'ajout du présent opuscule à la littérature.

¹ p.137 de l'édition de 1955 de [WI].

² Cf. §315-323 de [Cy], **14.8** de [Rn] ou la preuve de Koebe dans l'exercice 26 du chapitre **14** de ce dernier manuel, plus concis, choisi (édition de 1974) ici pour référer à l'analyse complexe élémentaire nécessitée : elle est incluse dans quatre chapitres de [Rn] : **10, 11, 12 et 14**.

³ *Un domaine de Jordan n'a pas de revêtement double non trivial.*

Pour la preuve sous cette forme et l'équivalence du sens étymologique donné par Jordan à l'expression «simple connexité» à celui qu'elle a depuis [WI] voir l'appendice 1. L'original est :

^{3'} Lemme 511 (559) du t. II de la 21^{ème} (3^{ème}) édition 1894 (tirage de 1959) de [Jn].

⁴ pour une preuve sans uniformisation voir §23 de [Fr] ou IV §3 de [Na]. Établie par Radó ([Ro]) en 1925 comme corollaire de l'uniformisation des surfaces des Riemann séparables, la paracompacité (équivalente à la séparabilité de chaque composante connexe) faisait, auparavant, partie de la définition des surfaces de Riemann (voir [WI], et aussi **2.18** et **6.16** de [Na]).

⁵ sans être exhaustif on peut citer [WI], [Na], [Sr], [Fr]. Le mémoire [Cy] évoqué dans les commentaires fait exception, mais utilise triangulations et topologie combinatoire.

⁶ par le théorème de l'application ouverte **10.32** de [Rn].

⁷ voir §341-342 de [Cy], §141-145 de [Cy]. Les renvois primés adaptent **11.17** de [Rn] :

^{7'} L'application $\Lambda : \mathfrak{S}_{r^2} \setminus \varphi(S_r) \rightarrow \mathbb{C}$, $\Lambda(z') = \zeta_r(z')$ si $z' \in \mathfrak{S}_r$ et $\Lambda(z) = \sigma_1 \circ \zeta_r \circ \varphi \circ \sigma_{r^2} \circ \varphi^{-1}(z)$ si $z \in \mathfrak{S}_{r^2} \setminus \overline{\mathfrak{S}_r}$, est holomorphe injective et le logarithme de son module se prolonge en une fonction ℓ continue sur \mathfrak{S}_{r^2} telle que, si ψ et $\lambda = \log |\psi|$ sont définie sur un voisinage V de \mathbb{R} , convexe et invariant par conjugaison comme composées de Λ et ℓ avec $\varphi \circ h_r \circ \exp \circ h_i$ alors λ a la propriété de la moyenne, puisqu'harmonique hors de \mathbb{R} et vérifiant $\lambda \circ \text{conj} = -\lambda$, et est donc harmonique (**11.16** de [Rn]). Ainsi λ est partie imaginaire d'une fonction holomorphe (**11.13** de [Rn]) h , que l'on peut choisir de sorte que $g = \exp \circ h$ soit égale à ψ en un point de $V \cap H$, donc sur ce convexe et aussi sur $V \setminus \mathbb{R}$, puisque, pour $\phi = g$, ψ on a $\phi \circ \text{conj} = \sigma_1 \circ \phi$. Ainsi $\exp \circ \ell$ est module d'une fonction holomorphe $\xi : \mathfrak{S}_{r^2} \rightarrow \mathbb{C}$ telle que $\xi \circ \varphi \circ \sigma_{r^2} \circ \varphi^{-1} = \sigma_1 \circ \xi$ et prolongeant Λ . Cette fonction ξ est injective, puisque⁶, sur $\mathfrak{S}_{r^2} \setminus \varphi^{-1}(S_r)$, elle l'est.

^{7''} Soit $\alpha : D \rightarrow \mathfrak{S}$ une application holomorphe injective telle que $\alpha(D_+)$ est un voisinage d'un point de $\partial K \setminus X$. L'argument de la note précédente ^{7'} se déroule sur l'application $\psi : D \setminus \{1\} \rightarrow \mathbb{C}$ définie par $\psi(z) = \varphi \circ \alpha(z)$, si $\Im z > 0$ et $\psi(z) = \sigma_1 \circ \psi \circ \text{conj}$, sinon.

⁸ **10.20** de [Rn]. Dans les renvois primés, l'appliquer aux fonctions holomorphes bornées :

^{8'} la composée $\varphi^{-1} \circ \xi^{-1} \circ \iota : \mathbb{C}^* \cap \iota(\xi(U)) \rightarrow D$.

^{8''} les composées $\iota \circ \psi \circ \varphi : D^* \rightarrow \mathbb{C}$ et $\varphi^{-1} \circ \psi^{-1} \circ \iota : \mathbb{C}^* \cap \iota(\psi(U)) \rightarrow D$.

^{8'''} la composée $\iota \circ \zeta : U^0 \rightarrow P_1(\mathbb{C} \setminus \overline{D}) \rightarrow D$.

⁹ une fonction holomorphe f ne s'annulant pas sur $\xi(\mathfrak{S}_{r^2})$ a une racine carrée holomorphe g_0 sur un disque, voisinage de \overline{D} dans $\xi(\mathfrak{S}_{r^2})$, donc sur $U_0 = \overline{D} \cup \sigma_1 \circ \zeta_r \circ \varphi(D_r \setminus D_{r'})$ pour un $r' < r$, elle a aussi une racine carrée holomorphe g_ϵ sur $U_\epsilon = \sigma_1 \circ \zeta_r \circ \varphi(D \setminus (D_{r^2} \cup \mathbb{R}_\epsilon))$ pour $\epsilon \in \mu_2$, puisque ces ouverts sont élémentaires. Les intersections $U_0 \cap U_\epsilon$ pour $\epsilon \in \mu_2$ étant connexes, il y a $\eta_\epsilon \in \mu_2$ tel que $\eta_\epsilon g_\epsilon = g_0$ sur $U_0 \cap U_\epsilon$. Comme les deux composantes connexes de $U_- \cap U_+$ rencontrent $U_0 \cap U_1$, ces $\eta_\epsilon g_\epsilon$ se recollent avec g_0 en une racine carrée holomorphe de f .

¹⁰ Une hétérolution σ de $P_1(\mathbb{C})$ est conjuguée à σ_{-1} si elle est libre et à σ_1 sinon.

En effet, c_∞ et Id n'étant pas des hétérolutions, il y a $z_1 \in \mathbb{C}$ avec $z_1 \neq \sigma(z_1) = z_2 \in \mathbb{C}$. Pour $\lambda \in \mathbb{C}^*$, soit $\varphi : z \mapsto \frac{z-z_1}{z-z_2}$, $\varphi_\lambda = h_\lambda \circ \varphi$ et $f_{\epsilon, \lambda} = \sigma_\epsilon \circ \varphi_\lambda \circ \sigma \circ \varphi_\lambda^{-1}$, isomorphisme de $P_1(\mathbb{C})$ fixant 0 et ∞ , a en 0 pour dérivée $f'_{\epsilon, \lambda}(0) = \epsilon |\lambda|^{-2} f'_{1, 1}(0)$, et il y a $f = f_{\epsilon, \lambda}$ avec $f'(0) = 1$.

Alors $z \mapsto \frac{\sigma_1 \circ f \circ \sigma_1^{-1}(z)}{z}$, est, par le théorème⁸ des singularités inexistantes, restriction d'une fonction entière tendant vers 1 quand z tend vers l'infini donc c_1 , selon le théorème¹¹ de Liouville. Ainsi $f = \text{Id}$ et $\sigma = \varphi_\lambda^{-1} \circ \sigma_\epsilon \circ \varphi_\lambda$ est conjuguée à σ_ϵ . ■

¹¹ **10.23** de [Rn].

^{11'} de fermeture incluse, si $1 < t' < t$, dans $\mathfrak{G}^{t'}$, ce domaine \mathfrak{G}^t est isomorphe à un ouvert du complémentaire dans \mathbb{C} d'un disque $\{|z - z_0| \leq \epsilon\}$, sur lequel $\iota \circ \tau_{-z_0}$ est holomorphe bornée non constante. Il ne peut donc, par le théorème de Liouville¹¹ être isomorphe à \mathbb{C} .

¹² Deux points distincts $\pi(x_1, n_1) \neq \pi(x_2, n_2)$ ont pour voisinages disjoints, $p^{-1}(\omega_i)$ pour $i = 1, 2$ où ω_i sont des voisinages disjoints des x_i si $x_1 \neq x_2$ et, si $x_1 = x_2$, les images par π des ouverts saturés $((U_{\overline{n_1-1}} \cap U_{\overline{n_1}}) \times \{n_1 - 1\}) \cup (U_{\overline{n_1}} \times \{n_1\}) \cup ((U_{\overline{n_1}} \cap U_{\overline{n_1+1}}) \times \{n_1 + 1\})$ qui sont disjoints car, comme $|n_1 - n_2| > 1$ la condition (ii) et le choix de N donnent $|n_1 - n_2| \geq N > 2$.

¹³ les isomorphismes de D sont (**12.6** de [R]) les $h_\lambda \circ \varphi_\alpha$, pour $|\lambda| = 1$ (et $|\alpha| < 1$).

^{13'} Une hétérolution ς de D est conjuguée à conj.

En effet¹³, $\varsigma(\bar{z}) = h_\lambda \circ \varphi_\alpha(z)$, soit $t = \frac{1-\sqrt{1-|\alpha|^2}}{|\alpha|^2}$ et $\alpha' = t\bar{\alpha}$. Ainsi, pour $t \in [-1, 1]$:

$$\varsigma(\alpha') = \varsigma(t\bar{\alpha}) = \frac{t-1}{1-t|\alpha|^2} \lambda \alpha = \frac{1-t}{1-t|\alpha|^2} \varsigma(\varsigma(\bar{\alpha})) = \frac{1-t}{1-t|\alpha|^2} \bar{\alpha} = \alpha'$$

ainsi α' est point fixe de ς et $\varphi_{\alpha'} \circ \varsigma \circ \varphi_{\alpha'}^{-1} = \lambda' \bar{z}$, conjuguée à conj (par $h_\mu z$ si $\lambda' \mu^2 = 1$). ■

^{13''} par ¹³, $\theta = h_\lambda \circ \varphi_\alpha$ où $\alpha \in]-1, 1[$ et $\lambda \in \mu_2$, par équivariance $\theta \circ \text{conj} = \text{conj} \circ \theta$. Donc $\alpha \in]-1, 1[\setminus \{0\}$ car θ libre sur D . Alors $-\frac{\alpha}{|\alpha|} \vartheta_+$ conjugue θ à $h_t|_{L_+} : L_+ \rightarrow \bar{L}_+$ où $t = \frac{1+|\alpha|}{1-|\alpha|} > 1$.

¹⁴ Si $p_i = \pi(i, z_i)$ l'inverse $G = H^{-1}$ peut être donné par : si $x = \pi(i, \iota(u))$, où $|u| > \sqrt{r_i}$ alors $G(x) = \pi(i, \iota((\frac{\sqrt{r_i}}{|u|})^{N_i-1} \iota(u) + (1 - (\frac{\sqrt{r_i}}{|u|})^{N_i}) \iota(z_i)))$ pour un $N_i > 0$ grand et $G(x) = x$ sinon.

¹⁵ Si Γ , compact dans U_i , ouvert connexe de \mathfrak{Q} , connexe et localement connexe et $C = U_i \setminus \Gamma$ est connexe, alors $\text{Fr } C \supset \text{Fr } U_i = \text{Fr}(\mathfrak{Q} \setminus U_i)$ ($\neq \emptyset$ si $U_i \neq \mathfrak{Q}$) et $\mathfrak{Q} \setminus \Gamma = C \cup (\mathfrak{Q} \setminus U_i)$ est connexe.

¹⁶ Soit $\Gamma = \bigcup_{\lambda' \in \Lambda} \beta'_{\lambda'}$ une chaîne et $\beta'_{\lambda'} \cap (\partial \beta'_{\lambda'} \cup_{\lambda' \neq \lambda''} \beta'_{\lambda''}) = \{\gamma_{\lambda'}(t_{\lambda'}^{\lambda'})\}; 0 = t_0^{\lambda'} < \dots < t_{l_{\lambda'}}^{\lambda'} = 1\}$.

Pour $\lambda = (n, \lambda') \in \Lambda = \{(n, \lambda') \in \mathbb{N} \times \Lambda' ; 0 \leq n < l_{\lambda'}\}$, soit $\gamma_\lambda = \gamma'_{\lambda'} \circ \tau_{t_n^{\lambda'}} \circ h_{t_{n+1}^{\lambda'} - t_n^{\lambda'}}$ et $\beta_\lambda = \gamma_\lambda(I)$. La famille $\mathcal{B} = (\beta_\lambda)_{\lambda \in \Lambda}$ est un graphe d'union Γ , fermé si Γ est un ω -cycle.

¹⁷ Soit β_μ avec $\emptyset \neq \beta_\mu \cap \beta_\lambda$, il y a pour $\nu \in \{\lambda, \mu\}$, quitte à changer certains γ_ν en $\gamma_\nu \circ \tau_1 \circ h_{-1}$, une paramétrisation γ_ν de β_ν avec $\{\gamma_\nu(0)\} = \{p\} = \beta_\mu \cap \beta_\lambda$. Soit $\sum_{m=1}^\infty a_m z^m$ (où $a_1 \neq 0$) le développement en 0 de l'isomorphisme local $\zeta_\lambda \circ \gamma_\mu$. Puisque $\beta_\lambda \neq \beta_\mu$, il y a, par analyticité¹⁸ un entier $m_{\lambda, \mu}$ avec $m_{\lambda, \mu} = 0$ si $a_1 < 0$, et sinon $\Im a_{m_{\lambda, \mu}} \neq 0$ mais $\Im a_m = 0$ pour $m < m_{\lambda, \mu}$. Soit $N_\lambda = 2 \max\{m_{\lambda, \mu} ; \beta_\mu \cap \beta_\lambda \neq \emptyset\}$ et $h'_\lambda > 0$ grand avec γ_λ défini sur $P'_\lambda = P_{N_\lambda, h'_\lambda}$, il y a un voisinage U de $\Delta_\mathcal{B}$ disjoint, pour tout $\lambda \neq \mu$ de $\gamma_\lambda(P'_\lambda) \cap \gamma_\mu(P'_\mu)$. La famille \mathcal{B} étant localement finie et, les $\gamma_\lambda(P_{N_\lambda, h_\lambda})$ décroissant en h d'intersection les arcs ouverts deux à deux disjoints $\beta_\lambda \setminus \partial \beta_\lambda$, il y a des $h_\lambda \geq h'_\lambda$ tels que les $\mathfrak{p}_\lambda = \gamma_\lambda(P_{N_\lambda, h_\lambda})$ sont deux à deux disjoints.

¹⁸ **10.18** de [Rn].

¹⁹ Un *duplicata non trivial* $p : X \rightarrow D^*$ est isomorphe au carré $q : D^* \rightarrow D^*$, $z \mapsto z^2$.
De source L_- simplement connexe, $\tilde{p} = \exp|_{L_-} = p \circ \pi : L_- \rightarrow X \rightarrow D^*$ se factorise par p , ce dernier étant un duplicata, $\pi \circ \tau_{2\pi i} = \tau \circ \pi$ pour un isomorphisme $\tau : X \rightarrow X$ de p .

Ainsi $\pi \circ \tau_{22\pi i} = \pi \circ \tau_{2\pi i} \circ \tau_{2\pi i} = \tau^2 \circ \pi = \pi$, et $\pi \circ h_2 = \phi \circ \exp$ pour $\phi : D^* \rightarrow X$ holomorphe vérifiant $p \circ \phi = q$ et $p^{-1}(q(z)) = \{\phi(z), \tau(\phi(z)) = \phi(-z)\}$, si $z \in D^*$ car τ est libre, puisque D^* est connexe et p non trivial. Bijectif, l'holomorphisme ϕ est un isomorphisme. ■

²⁰ Une famille, indexée par les couples comparables $\phi < \phi' \in \Phi$ d'un ensemble bien ordonné filtrant, de désirs $\pi_\phi^{\phi'} : F_\phi^{\phi'} \rightarrow F_\phi$ surjectifs sur l'ensemble fini F_ϕ défini sur l'ensemble $F_\phi^{\phi'} \subset F_{\phi'}$ (*le*) prétendant (dans $F_{\phi'}$) est compatible (ou définit un désir systématique) si :

Pour tout $\phi < \phi' < \phi''$, alors $\pi_\phi^{\phi''} = \pi_\phi^{\phi'} \circ \pi_{\phi'}^{\phi''}$. Sa limite projective $\varprojlim_{\phi \in \Phi} (F_\phi, \pi_\phi^{\phi'})$, ou ensemble de ses réalisations \mathcal{R} est l'ensemble des $(f_\phi)_{\phi \in \Phi}$ tel que pour tout $\phi < \phi'$ la ϕ' ième composante $f_{\phi'} \in F_\phi^{\phi'}$ est un prétendant de désir $\pi_\phi^{\phi'}(f_{\phi'}) = f_\phi$.

Lemme des mariages. — Un désir systématique a des réalisations : $\mathcal{R} = \varprojlim_{\phi \in \Phi} (F_\phi, \pi_\phi^{\phi'}) \neq \emptyset$.

Car \mathcal{R} est intersection fermée, avec propriété de l'intersection finie, du compact $\prod_{\phi \in \Phi} F_\phi$ ■

^{20'} Appliqué à la famille des $F_\phi = \{\Gamma^{\eta_m}; \text{ supports réduits de } \Gamma_{\mathcal{B}_\phi^p}\}$, $\phi \in \Phi$ que **1.2** munit des désirs compatibles $\pi_\phi^{\phi'}, \Gamma^\eta \mapsto \Gamma^\eta \cap \overline{U}_\phi$ sur les prétendants $F_\phi^{\phi'} = \{\Gamma^\eta \in F_{\phi'}; \Gamma^\eta \cap \overline{U}_\phi \in F_\phi\}$.

²¹ **10.33** de [Rn].

²² **10.17** de [Rn], on en tire le «Petit principe⁷ de symétrie», dit aussi «Corollaire de Morera» :

^{22'} Une fonction continue, holomorphe hors d'une courbe analytique réelle, est holomorphe.

²³ **14.6** de [Rn].

²⁴ **10.15** de [Rn].

²⁵ Tout $w \in g_0(D_2)$ est, car $g_j \rightarrow \infty$ uniformément sur S_2 , dans la composante de $0 = g_j(0)$ de $\mathbb{C} \setminus g_j(S_2)$. Par **10.43** de [Rn], $f_w = \tau_{-w} \circ g_j$ a, dans D_2 autant de zéros que f_0 , donc $w \in g_j(D_2)$.

²⁶ **12.2** de [Rn].

²⁷ voir le dernier paragraphe de la preuve de **14.8** dans [Rn].

²⁸ Si $g_{i_j}^2 = f|_{V_{i_j}}$, $i = 1, 2$ pour $f : V \rightarrow \mathbb{C}^*$ et g_{i_j} holomorphes avec $g_{i_1}(z_0) = g_{i_2}(z_0)$, alors, sur $V_{i_1} \cap V_{i_2}$, $g_{i_1} = g_{i_2}$ car, sur le connexe V_{i_j} , g_{i_j} est restriction de la racine carrée g_k de $f|_{V_k}$ où $V_k \supset V_{i_1} \cup V_{i_2}$, vérifiant $g_k(z_0) = g_{i_1}(z_0) = g_{i_2}(z_0)$: ces g_i se recollent en une racine de f .

²⁹ Car si $\alpha :]-1, 1[\subset U \rightarrow \mathbb{R}^2$ est une courbe analytique réelle définie sur un voisinage simplement connexe de $] -1, 1[$, la primitive coïncidant avec α en 0, de l'application holomorphe $x + iy = z \mapsto \frac{\partial}{\partial x} \alpha(z) - \frac{\partial}{\partial y} \alpha(z)$, étend la restriction de α à $] -1, 1[$ et, si $\alpha|_{]-1, 1[}$ est injective, est injective sur un voisinage de $] -1, 1[$.

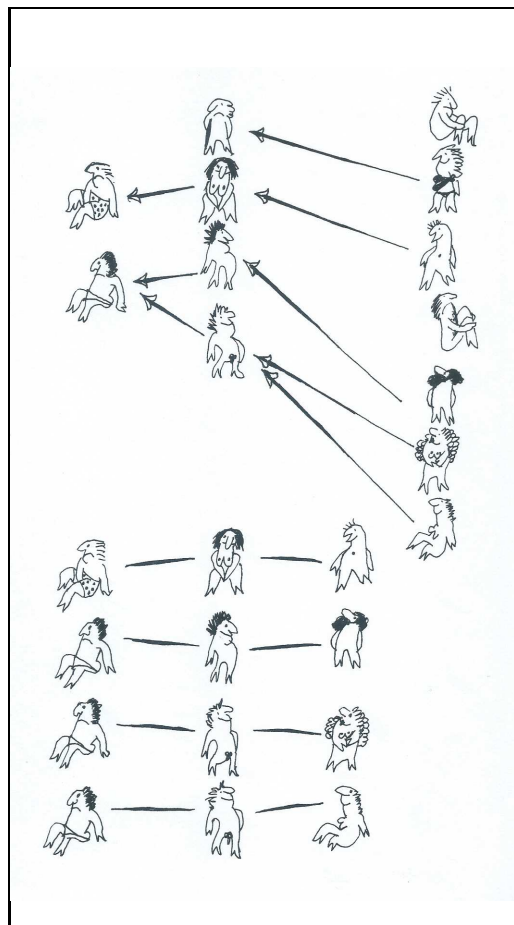


Planche h

Le lemme des mariages

Glossaire

Sans reprendre les dénominations des objets et morphismes standards (p.iv et v), cette liste donne la localisation des définitions des «mots et symboles propres» du texte.

	<i>Lexique</i>
<i>acyclique</i>	<i>I4</i>
<i>arc analytique</i>	<i>I2</i>
<i>arrondie</i>	<i>iii et 21</i>
<i>arête</i> (d'un ω -graphe)	<i>12</i>
<i>bord</i> (d'une surface de Riemann)	<i>16</i>
<i>bord</i> (d'un ω -arc)	<i>11</i>
<i>bord</i> (d'un ω -polygone ouvert ou fermé)	<i>iii et 19</i>
<i>carte</i>	<i>I2</i>
<i>cellule</i>	<i>4</i>
<i>collier (paramétré)</i> (d'une ω -chaîne)	<i>I4</i>
<i>coin</i>	<i>iii</i>
<i>conjugaison</i> (de double)	<i>I5</i>
<i>connexité</i>	<i>v</i>
<i>courbe simple (fermée)</i>	<i>I4</i>
<i>coordonnée</i> (en un point d'une surface de Riemann)	<i>12</i>
<i>cycle analytique</i>	<i>ii et 12</i>
<i>désir (systématique)</i>	<i>IV</i>
<i>domaine de Jordan</i>	<i>i</i>
<i>double (de Klein)</i> (d'une surface de Riemann)	<i>iii et I6</i>
<i>double (de Klein)</i> (d'un ω -polygone sur un bord β)	<i>iii et 19</i>
<i>duplicata</i>	<i>I4</i>
<i>eénnodrooqe</i>	<i>I2</i>
<i>élémentaire (ouvert dans une surface de Riemann)</i>	<i>ii</i>
<i>élémentaire (carte ou coordonnée dans une surface de Riemann à bord)</i>	<i>I6</i>
<i>fermé</i> (ω -graphe)	<i>I2</i>
<i>filtrante</i> (famille (de parties))	<i>22</i>
<i>graphie</i>	<i>v</i>
<i>hétérographie</i>	<i>v</i>
<i>hétérolution</i>	<i>iii</i>
<i>homographie</i>	<i>v</i>
<i>intérieur formel</i> (d'un ω -arc)	<i>I2</i>
<i>isomorphisme</i>	<i>i</i>
<i>Jordan-simplement connexe</i>	<i>I4</i>
<i>limite projective</i> (d'un désir systématique)	<i>V</i>
<i>normale (eénnodrooqe Γ-normale)</i>	<i>I1</i>
<i>périmérique</i> (cellule dans un ω -polygone fermé)	<i>3</i>
<i>perle</i>	<i>iv</i>
<i>perle sur une arête</i>	<i>I4</i>
<i>planaire</i> (surface de Riemann)	<i>ii</i>
<i>polygone analytique (ouvert)</i>	<i>ii</i>
<i>polygone analytique (fermé)</i>	<i>4</i>
<i>prétendant</i>	<i>V</i>
<i>réalisation</i> (d'un désir systématique)	<i>V</i>
<i>réduit</i> (support réduit d'un support de graphe)	<i>I4</i>
<i>signe locaux</i> (groupe des)	<i>v</i>
<i>simple</i> (ω -polygone)	<i>4</i>
<i>simplement connexe</i>	<i>i</i>
<i>simplement connexe (aux sens de Jordan)</i>	<i>I4</i>
<i>sommet</i> (d'un ω -polygone et d'un ω -graphe)	<i>iii et 12</i>
<i>standard (ouvert dans une surface de Riemann)</i>	<i>ii</i>
<i>support</i> (d'un ω -graphe)	<i>I2</i>
<i>surface de Riemann</i>	<i>i</i>
<i>surface de Riemann à bord</i>	<i>I6</i>

<i>valence</i> (d'un point dans un ω -graphe d'une surface de Riemann)	<i>11</i>
ω - <i>arc</i>	<i>12</i>
ω - <i>chaîne</i>	<i>12</i>
ω - <i>cycle</i>	<i>ii et 12</i>
ω - <i>cycle d'un signe</i>	<i>14</i>
ω - <i>graphe</i>	<i>11</i>
ω - <i>polygone (ouvert et fermé)</i>	<i>ii et 3</i>
<i>symbolique</i>	
$\partial \mathbf{R}, \partial U$	<i>16</i>
$i_\beta (\mathcal{D}_\beta U, \mathbf{U}^a{}_\beta, \sigma_\beta)$	<i>iii</i>
\mathcal{B}	<i>12</i>
$\Gamma_{\mathcal{B}}$	<i>12</i>
$\Delta_{\mathcal{B}}$	<i>12</i>
$\mathfrak{p}, \mathfrak{p}_\lambda$	<i>14</i>
$\partial\Gamma$	<i>14</i>
$\pi_{\mathcal{B}}$	<i>14</i>
π_Γ	<i>14</i>
\mathfrak{S}_Γ	<i>14</i>
$\Gamma^\eta, \Gamma_U^\eta$	<i>14</i>
$U_{\epsilon, \gamma, i}$	<i>18</i>

Table des matières
Préambule : Aperçu sur quatre paragraphes...

Introduction	i
La preuve et ses sept énoncés, le cas compact	ii
Arrondissement des brisures du bord et le cas général	iii
Objets et morphismes standards dans le plan et la sphère	iv

Déroulement de la Démonstration

§1 Démonstration du Lemme A	2
§2 Le Lemme B et démonstration du Lemme C	4
§3 Démonstration du Lemme D et Corollaire D	8
§4 Démonstration des Théorèmes	11

Appendices

1 Arcs analytiques, duplicates et séparation par les ω -graphes	12
2 Surfaces de Riemann à bord et double de Klein usuel	16
3 Bord et double de Klein des ω -polygones	18
4 Une caractérisation de cartes dans les surfaces de Riemann	22

Epilogue

Commentaires sur littérature et tradition orale	I
Références	II
Notes	III
Glossaire	VII
Table des matières	IX
Générique de fin	X
Contacts et affiliation	XI

«Klein, Poincaré und Koebe ist es vor allem zu verdanken, wenn heute die Theorie der Uniformisierung, welche innerhalb der komplexen Funktiontheorie eine zentrale Stellung beanspruchen darf, als ein mathematisches Gebäude von besonderer Harmonie und Großzügigkeit vor uns steht.»

H. Weyl, (*Die Idee der Riemannschen Fläche* (1913), p. 142)

Les quatres paragraphes et autant d'appendices de ce texte n'existaient pas sans les œuvres explicitement ou implicitement citées, diverses demandes d'une réalisation de leur rédaction, ni la patience de L. Guillou pour nos balbutiements et son érudition communicative de cette «littérature mathématique» dont l'auteur, avant d'entreprendre sous sa direction ce T.E.R.¹ d'histoire des mathématiques, n'imaginaient pas l'existence.

L'auteur manifeste aussi sa sympathie aux doigts et à l'œil de monsieur Carreira, qui effectuèrent coiffures, costumes, maquillages, et firent passer de nos lèvres à ce «manuscript frappé» une discrète couche de TEX.

«J'ai toujours regretté de ne pas l'avoir connu en pleine jeunesse quand, brun et basané à l'image d'un conquistador et tout frémissant des perspectives scientifiques qu'ouvriraient la psychologie du XIX^e siècle, il était parti à la conquête spirituelle du nouveau monde»

C. Lèvi-Strauss, (*Tristes tropiques*)

(et de ses) non encore uniformisées
ante – Koebiennes Surfaces de Riemann

¹ Travail d'étude et de recherche, exercice de style de nature initiatique, introduit et exigé chez des tribus extratropicales (bien au nord du Cancer et très à l'est de l'Amazonie) dès la fin du vingtième siècle, pour faire passer les licencieuses au statut de maîtresses de Mathématique.

Metteur en scène et secrétaire : Alexis Marin Bozonat
courriel : alexis.charles.marin@gmail.com
Univ. Grenoble Alpes, CNRS, IF, 38100, Grenoble, France